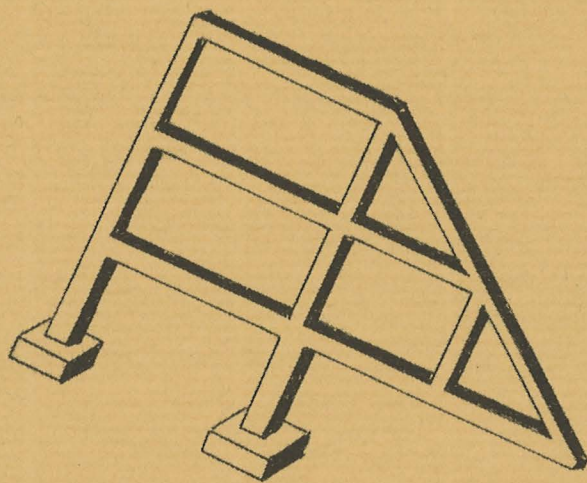


MÉTODOS DE LAS SY Y DE  
LAS ROTACIONES  
DE CÁLCULO DE ESTRUCTURAS

(III)

*por*

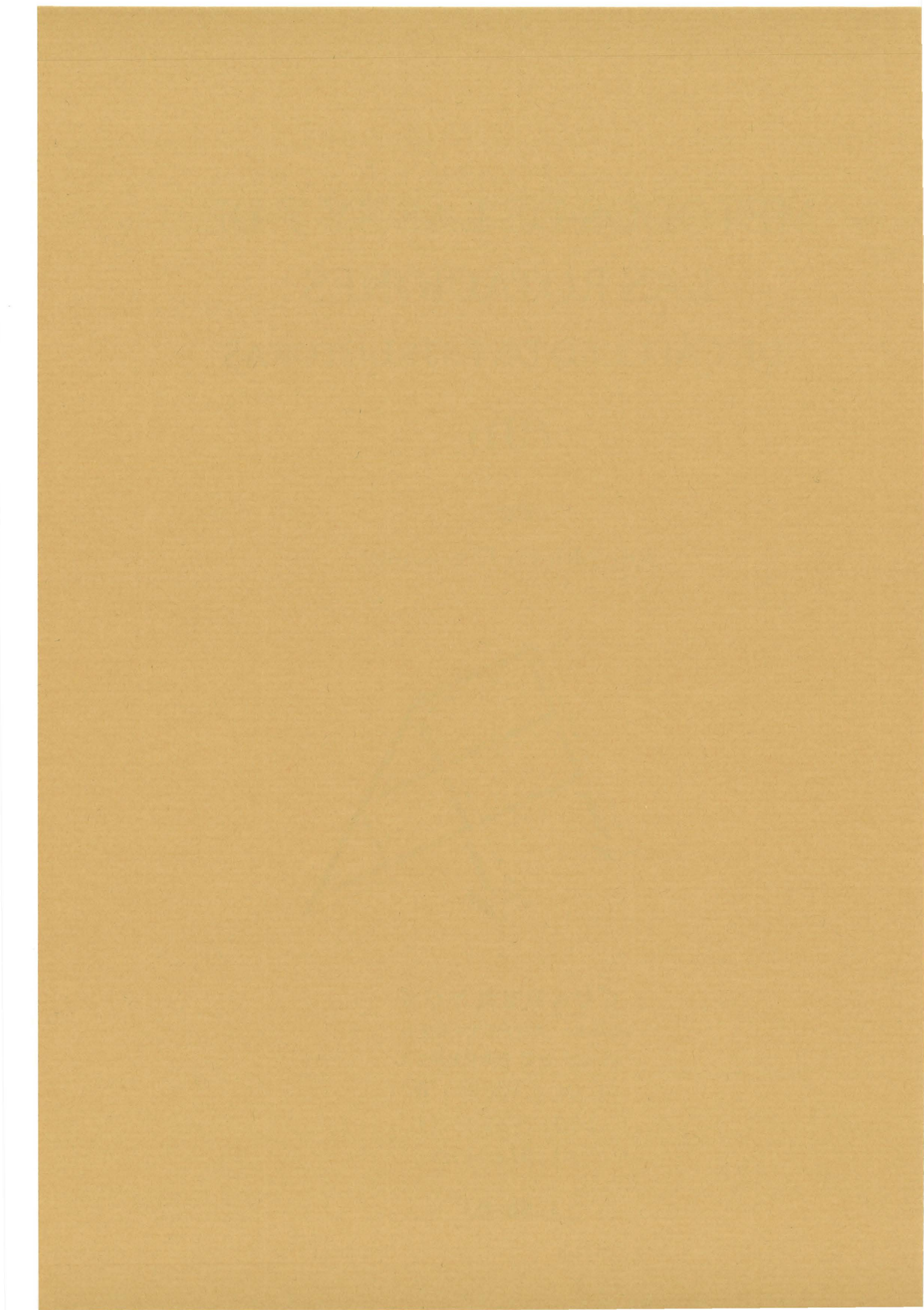
JOSÉ MOLINA DOMINGUEZ



CUADERNOS  
DEL INSTITUTO  
JUAN DE HERRERA  
DE LA *ESCUELA DE*  
*ARQUITECTURA*  
*DE MADRID*

1-58-03





MÉTODOS DE LAS SY Y DE  
LAS ROTACIONES  
DE CÁLCULO DE ESTRUCTURAS

(III)

*por*

JOSÉ MOLINA DOMINGUEZ

CUADERNOS  
DEL INSTITUTO  
JUAN DE HERRERA  
DE LA *ESCUELA DE*  
*ARQUITECTURA*  
*DE MADRID*

1-58-03

**CUADERNOS  
DEL INSTITUTO  
JUAN DE HERRERA**

- 0 VARIOS
- 1 ESTRUCTURAS
- 2 CONSTRUCCIÓN
- 3 FÍSICA Y MATEMÁTICAS
- 4 TEORÍA
- 5 GEOMETRÍA Y DIBUJO
- 6 PROYECTOS
- 7 URBANISMO
- 8 RESTAURACIÓN

**NUEVA NUMERACIÓN**

- 1 Área
- 58 Autor
- 03 Ordinal de cuaderno (del autor)

***Métodos de las SY y de las rotaciones de cálculo de estructuras (III)***

© 2004 José Molina Domínguez.

Instituto Juan de Herrera.

Escuela Técnica Superior de Arquitectura de Madrid

Gestión y portada: Laura Bejerano Iglesias

CUADERNO 170.01

ISBN: 84-9728-093-8 (obra completa)

ISBN: 84-9728-11-X (vol. III)

Depósito Legal: M-28520-2004



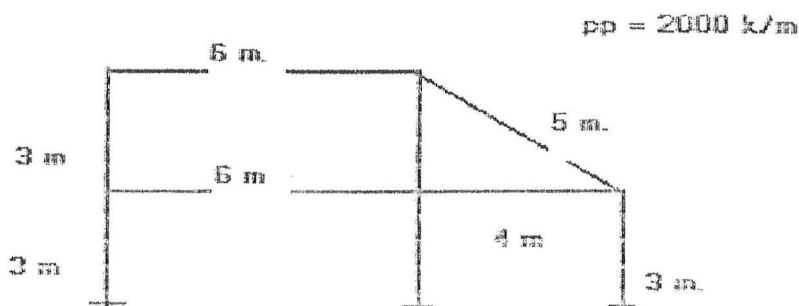
**Métodos de las SY y de las rotaciones de cálculo de estructuras (III)**  
**Ejercicios.**

**INDICE:**

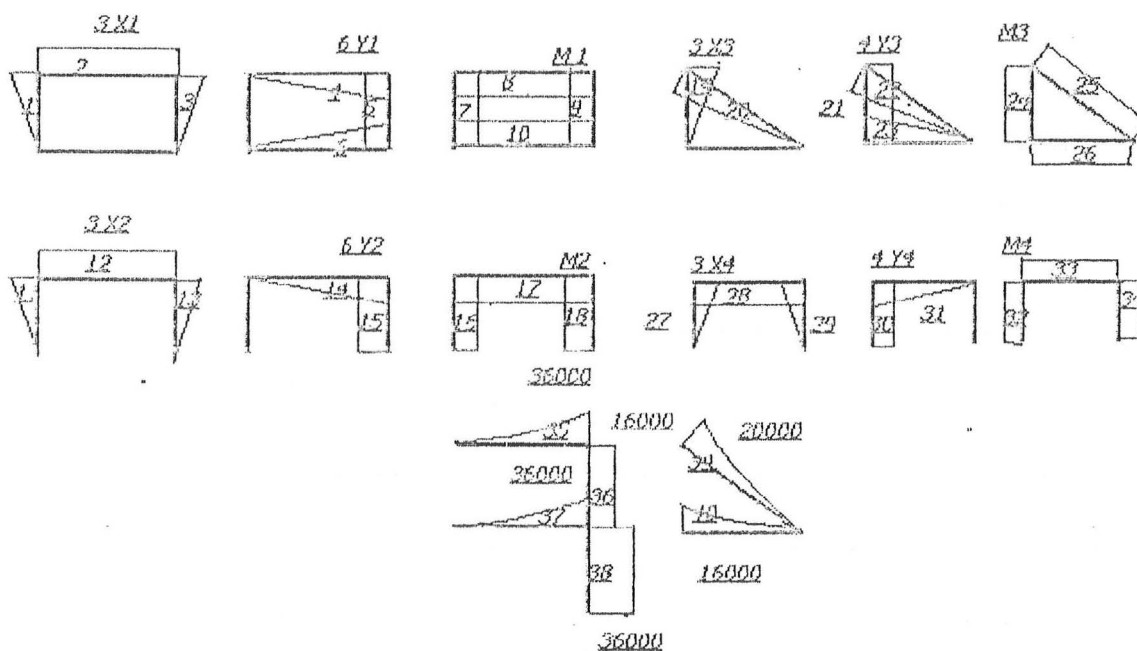
Ejercicio	pág.
19 .....	71
20 .....	76
21 .....	80
22 .....	85
23 .....	90
24 .....	99

# EJERCICIO n° 19

Estudio de la estructura siguiente



Seccionando la estructura en las bases de los pilares que no son centrales se producen cuatro cortes con doce incógnitas, cuatro horizontales, cuatro verticales y cuatro de momentos, que junto a los la hipótesis de carga se obtienen los diagramas de momentos



de donde midiendo las áreas y las ordenadas correspondientes dan los datos siguientes

Núm.	S	X1	Y1	M1	X2	Y2	M2	X3	Y3	M3	X4	Y4	M4
1	4.5X1	2	0	-1	0	0	0	0	0	0	0	0	0
2	18X1	3	3	-3	-1	0	0	0	0	0	0	0	0
3	4.5X1	2	-6	-1	0	0	0	2	4	-1	0	0	0

4	18 Y1	-3	4	1	0	0	0	0	0	0	0	0	0
5	18 Y1	-1.5	6	1	0	0	0	-1.5	-4	1	0	0	0
6	18 Y1	0	4	1	3	-4	-1	0	0	0	0	0	0
7	3 M1	-1.5	0	1	0	0	0	0	0	0	0	0	0
8	6 M1	-3	3	1	0	0	0	0	0	0	0	0	0
9	3 M1	-1.5	6	1	0	0	0	-1.5	-4	1	0	0	0
10	6 M1	0	3	1	3	-3	-1	0	0	0	0	0	0
11	4.5X2	0	0	0	2	0	-1	0	0	0	0	0	0
12	18 X2	0	3	1	3	-3	-1	0	0	0	0	0	0
13	4.5X2	0	0	0	2	-6	-1	0	0	0	2	4	-1
14	18 Y2	0	-4	-1	-3	4	1	0	0	0	0	0	0
15	18 Y2	0	0	0	-1.5	6	1	0	0	0	-1.5	-4	1
16	3 M2	0	0	0	-1.5	0	1	0	0	0	0	0	0
17	6 M2	0	-3	-1	-3	3	1	0	0	0	0	0	0
18	3 M2	0	0	0	-1.5	6	1	0	0	0	-1.5	-4	1
19	4.5X3	2	-6	-1	0	0	0	2	4	-1	0	0	0
20	7.5X3	0	0	0	0	0	0	2	8/3	-1	0	0	0
21	12 Y3	1.5	-6	-1	0	0	0	1.5	4	-1	0	0	0
22	10 Y3	0	0	0	0	0	0	2	8/3	-1	0	0	0
23	8 Y3	0	0	0	0	0	0	0	8/3	-1	-3	-8/3	1
24	3 M3	-1.5	6	1	0	0	0	-1.5	-4	1	0	0	0
25	5 M3	0	0	0	0	0	0	1.5	-2	1	0	0	0
26	4 M3	0	0	0	0	0	0	0	-2	1	3	2	-1
27	4.5X4	0	0	0	2	-6	-1	0	0	0	2	4	-1
28	12 X4	0	0	0	0	0	0	0	-2	1	3	2	-1
29	4.5X4	0	0	0	0	0	0	0	0	0	2	0	-1
30	12 Y4	0	0	0	1.5	-6	-1	0	0	0	1.5	4	-1
31	8 Y4	0	0	0	0	0	0	0	-8/3	1	3	8/3	-1
32	3 M4	0	0	0	-1.5	6	1	0	0	0	-1.5	-4	1
33	4 M4	0	0	0	0	0	0	0	2	-1	-3	-2	1
34	3 M4	0	0	0	0	0	0	0	0	0	-1.5	0	1



35	72000		3	-4.5	-1	0	0	0	0	0	0	0	0	0
36	48000	1.5	-6	-1	0	0	0	1.5	4	-1	0	0	0	
37	72000	0	4.5	1	3	-4.5	-1	0	0	0	0	0	0	
38	108000	0	0	0	1.5	-6	-1	0	0	0	1.5	4	-1	
39	33333.3	0	0	0	0	0	0	-2.25	-3	1	0	0	0	
40	21333.3	0	0	0	0	0	0	0	3	-1	-3	-3	1	

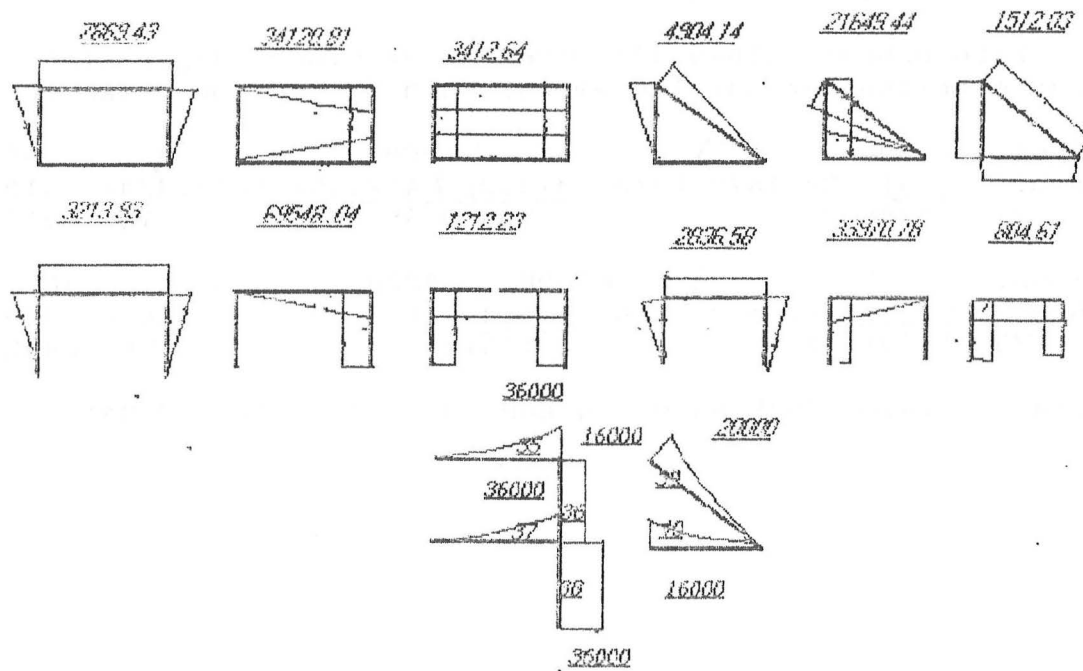
Valores que aplicado el Método de las SY da el sistema de ecuaciones siguiente:

X1	Y1	M1	X2	Y2	M2	X3	Y3	M3	X4	Y4	M4	INDEP.	
72	-81	-27	0	0	0	9	18	-4.5	0		0	0	=-288000
-81	252	54	54	-72	-18	-27	-72	18	0		0	0	= 288000
-27	54	18	18	-18	-6	-4.5	-12	3	0	0	0		= 48000
0		54	18	72	-81	-27	0	0	0	9	18	-4.5	=-378000
0	-72	-18	-81	180	36	0	0	0	-27	-72	18		= 972000
0	-18	-6	-27	36	12	0	0	0	-4.5	-12	3		= 180000
9	-27	-4.5	0	0	0	24	38	-12	0	0	0		= 3000
18	-72	-12	0	0	0	38	96	-30	-24	-21.3	8		=-156000
-4.5	18	3	0	0	0	-12	-30	12	12	8	-4		= 36000
0	0	0	9	-27	-4.5	0	-24	12	54	42	-21		=-98000
0	0	0	18	-72	-12	0	-21.3	8	42	69.3	-20		=-368000
0	0	0	-4.5	18	3	0	8	-4	-21	-20	10		= 86666.6

que resuelto da los valores

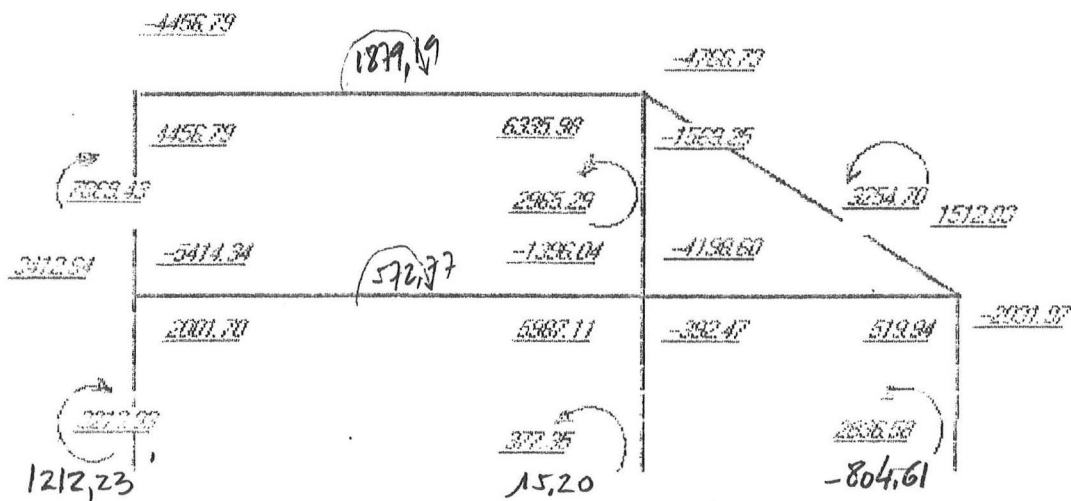
$$\begin{array}{llll}
 X1= 2623.142 & Y1= 5686.802 & M1=3412.637 & X2= 1071.311 & Y2= 11591.34 & M2= \\
 1212.223 & & & & & \\
 X3=-1634.713 & Y3= 5412.36 & M3=1512.027 & X4=-945.527 & Y4= 8492.696 & \\
 M4=-804.6141 & & & & & 
 \end{array}$$

que llevados a sus respectivos diagramas se convierten en los números



que sumándolos todos dan el diagrama definitivo de esta hipótesis de carga

X



Observemos:

1) El equilibrio del empuje en el piso superior  
 $3213.93 - 377.35 - 2836.58 = 0$

2) En el piso superior  
 $7869.43 - 2965.29 - 3254.70 = 1649.44$

Este momento (1649.44) produce reacciones hiperestáticas en la parte triangular. Así los empujes son (y reacciones las contrarias)

E.isos.	↓ 6000		6000	↓ ↓ 5000		5000	↓
E.hip.	↑ 313.2 =	1879.19/6 =	313.2	↓ ↑ 412.35 =	1649.4/4 =	412.35	↓
Y1 =	5686.8		10900.85			Y3 =	5412.35

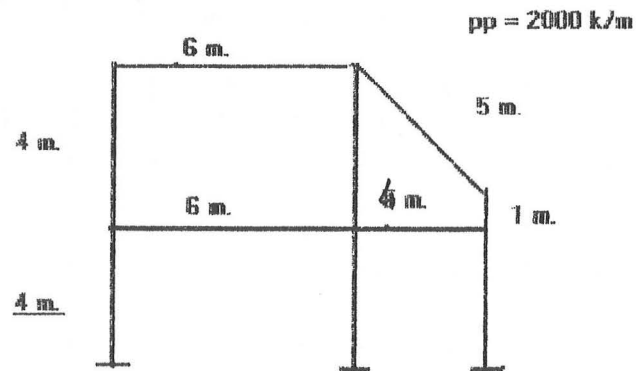
E.isos.	↓ 6000		6000	↓ ↓ 4000		4000	↓
E.hip.	↑ 95.46 =	572.77/6 =	95.46	↓ ↓ 919.99 =	3678.66/4 =	919.66	↓
Y3 =	11591.34		11015.12			Y4 =	8492.69

Nota : El valor 3678.66 es la suma de (-4198.60 + 519.94)

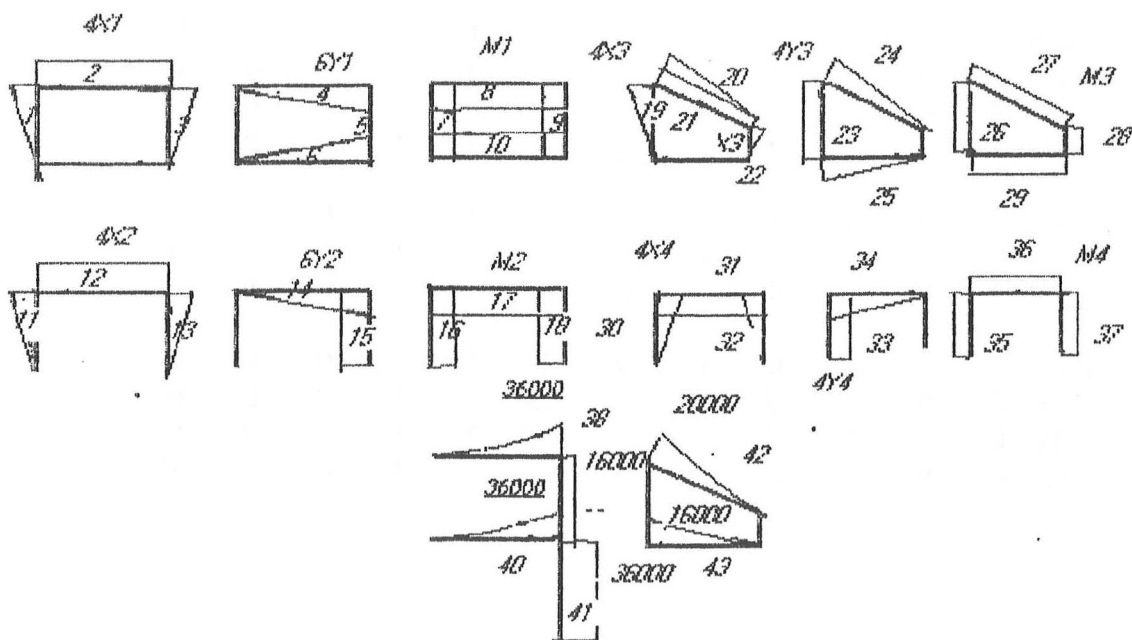


## EJERCICIO n° 20

Estudio de la estructura siguiente



Seccionando la estructura en las bases de los pilares que no son centrales se producen cuatro cortes con doce incógnitas, cuatro horizontales, cuatro verticales y cuatro de momentos, que junto a los la hipótesis de carga se obtienen los diagramas de momentos



de donde midiendo las areas y las ordenadas correspondientes dan los datos siguientes

Num.	S	X1	Y1	M1	X2	Y2	M2	X3	Y3	M3	X4	Y4	M4
1	8X1	8/3	0	-1	0	0	0	0	0	0	0	0	0
2	24X1	4	-3	-1	0	0	0	0	0	0	0	0	0
3	8X1	8/3	-6	-1	0	0	0	-8/3	-4	-1	0	0	0
4	18Y1	-4	4	1	0	0	0	0	0	0	0	0	0
5	24Y1	-2	6	1	0	0	0	2	4	1	0	0	0
6	18Y1	0	4	1	4	-4	-1	0	0	0	0	0	0
7	4M1	-2	0	1	0	0	0	0	0	0	0	0	0
8	6M1	-4	3	1	0	0	0	0	0	0	0	0	0
9	4M1	-2	6	1	0	0	0	2	4	1	0	0	0
10	6M1	0	3	1	4	-3	-1	0	0	0	0	0	0
11	8X2	0	0	0	8/3	0	-1	0	0	0	0	0	0
12	24X2	0	3	1	4	-3	-1	0	0	0	0	0	0
13	8X2	0	0	0	8/3	-6	-1	0	0	0	8/3	4	-1
14	18Y2	0	-4	-1	-4	4	1	0	0	0	0	0	0
15	24Y2	0	0	0	-2	6	1	0	0	0	-2	-4	1
16	4M2	0	0	0	-2	0	1	0	0	0	0	0	0
17	6M2	0	-3	-1	-4	3	1	0	0	0	0	0	0
18	4M2	0	0	0	-2	6	1	0	0	0	-2	-4	1
19	8X3	-8/3	6	1	0	0	0	8/3	4	1	0	0	0
20	7.5X3	0	0	0	0	0	0	3	8/3	1	0	0	0
21	5X3	0	0	0	0	0	0	2.5	2	1	0	0	0
22	0.5X3	0	0	0	0	0	0	3	8/3	1	0	0	0
23	16Y3	-2	6	1	0	0	0	2	4	1	0	0	0
24	10Y3	0	0	0	0	0	0	3	8/3	1	0	0	0
25	8 Y3	0	0	0	0	0	0	0	8/3	1	4	8/3	-1
26	4M3	-2	6	1	0	0	0	2	4	1	0	0	0
27	5M3	0	0	0	0	0	0	2.5	2	1	0	0	0
28	M3	0	0	0	0	0	0	0.5	0	1	0	0	0
29	4M3	0	0	0	0	0	0	0	2	1	4	2	-1

30	8X4	0	0	0	8/3	-6	-1	0	0	0	8/3	4	-1
31	16X4	0	0	0	0	0	0	0	2	1	4	2	-1
32	8X4	0	0	0	0	0	0	0	0	0	8/3	0	-1
33	16Y4	0	0	0	2	-6	-1	0	0	0	2	4	-1
34	8Y4	0	0	0	0	0	0	0	8/3	1	4	8/3	-1
35	4M4	0	0	0	-2	6	1	0	0	0	-2	-4	1
36	4M4	0	0	0	0	0	0	0	-2	-1	-4	-2	1
37	4M4	0	0	0	0	0	0	0	0	0	-2	0	1
38	72000	4	-4.5	-1	0	0	0	0	0	0	0	0	0
39	64000	2	-6	-1	0	0	0	-2	-4	-1	0	0	0
40	72000	0	4.5	1	4	-4.5	-1	0	0	0	0	0	0
41	144000	0	0	0	2	-6	-1	0	0	0	2	4	-1
42	100000/3	0	0	0	0	0	0	3.25	3	1	0	0	0
43	64000/3	0	0	0	0	0	0	0	-3	-1	-4	-3	1

Valores que aplicando el Método de las SY da el sistema de ecuaciones siguiente:

X1	Y1	M1	X2	Y2	M2	X3	Y3	M3	X4	Y4	M4	IND
138.6	-120	-40	0	0	0	-21.3	-32	-8	0	0	0	-416000
-120	288	60	72	-72	-18	48	96	24	0	0	0	384000
-40	60	20	24	-18	-6	8	16	4	0	0	0	64000
0	72	24	138.6	-120	-40	0	0	0	21.3	32	-8	-576000
0	-72	-18	-120	216	42	0	0	0	-48	-96	24	1188000
0	-18	-6	-40	42	14	0	0	0	-8	-16	4	216000
-21.3	48	8	0	0	0	56.6	62	21	0	0	0	19666.6
-32	96	16	0	0	0	62	112	34	32	21.3	-8	220000
-8	24	4	0	0	0	21	34	14	16	8	-4	52000
0	0	0	21.3	-48	-8	0	32	16	106.6	64	-32	-202666.6
0	0	0	32	-96	-16	0	21.3	8	64	85.3	-24	-512000
0	0	0	-8	24	4	0	-8	-4	-32	-24	12	122666.6

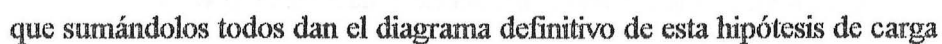
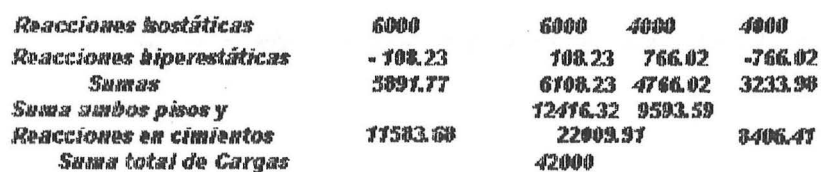
que resuelto da

$$X1=1988.50 \quad Y1=5691.91 \quad M1=3595.30 \quad X2=642.47 \quad Y2=11583.68 \quad M2=897.81$$

$$X3=1445.81 \quad Y3=-5172.44 \quad M3=-53.54 \quad X4=-367.05 \quad Y4=8406.41 \quad M4=-448.22$$

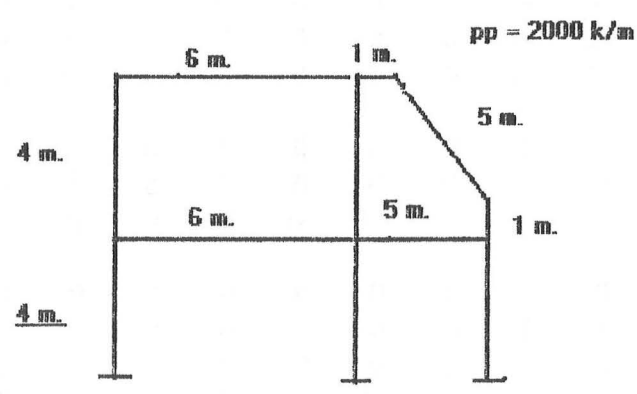
que llevados a sus respectivos diagramas se convierten en los numéricos



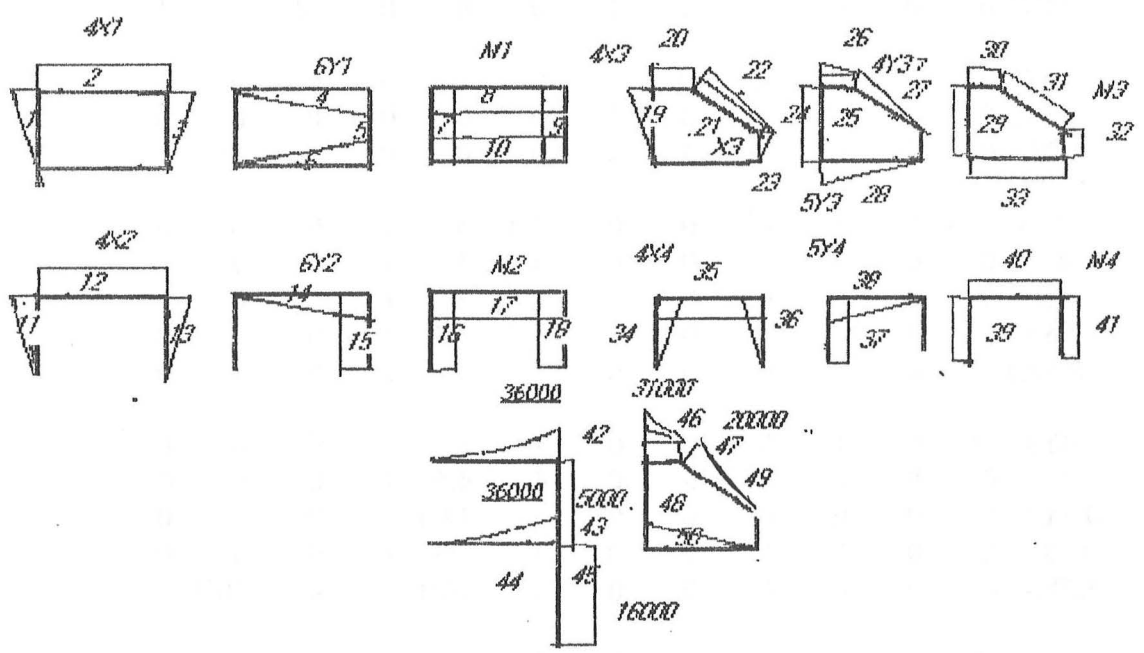

$$1848.55/6=308.09$$


# EJERCICIO N° 21

Estudio de la estructura siguiente



Seccionando la estructura en las bases de los pilares que no son centrales se producen cuatro cortes con doce incognitas, cuatro horizontales, cuatro verticales y cuatro de momentos, que junto a los la hipótesis de carga se obtienen los diagramas de momentos



de donde midiendo las areas y las ordenadas correspondientes dan los datos siguientes

Num.	S	X1	Y1	M1	X2	Y2	M2	X3	Y3	M3	X4	Y4	M4
1	8X1	8/3	0	-1	0	0	0	0	0	0	0	0	0
2	24X1	4	-3	-1	0	0	0	0	0	0	0	0	0
3	8X1	8/3	-6	-1	0	0	0	-8/3	-5	-1	0	0	0
4	18Y1	-4	4	1	0	0	0	0	0	0	0	0	0
5	24Y1	-2	6	1	0	0	0	2	5	1	0	0	0
6	18Y1	0	4	1	4	-4	-1	0	0	0	0	0	0
7	4M1	-2	0	1	0	0	0	0	0	0	0	0	0
8	6M1	-4	3	1	0	0	0	0	0	0	0	0	0
9	4M1	-2	6	1	0	0	0	2	5	1	0	0	0
10	6M1	0	3	1	4	-3	-1	0	0	0	0	0	0
11	8X2	0	0	0	8/3	0	-1	0	0	0	0	0	0
12	24X2	0	3	1	4	-3	-1	0	0	0	0	0	0
13	8X2	0	0	0	8/3	-6	-1	0	0	0	8/3	5	-1
14	18Y2	0	-4	-1	-4	4	1	0	0	0	0	0	0
15	24Y2	0	0	0	-2	6	1	0	0	0	-2	-5	1
16	4M2	0	0	0	-2	0	1	0	0	0	0	0	0
17	6M2	0	-3	-1	-4	3	1	0	0	0	0	0	0
18	4M2	0	0	0	-2	6	1	0	0	0	-2	-5	1
19	8X3	-8/3	6	1	0	0	0	8/3	5	1	0	0	0
20	4X3	0	0	0	0	0	0	4	4.5	1	0	0	0
21	5X3	0	0	0	0	0	0	2.5	2	1	0	0	0
22	7.5X3	0	0	0	0	0	0	3	8/3	1	0	0	0
23	0.5X3	0	0	0	0	0	0	2/3	0	1	0	0	0
24	20Y3	-2	6	1	0	0	0	2	5	1	0	0	0
25	4Y3	0	0	0	0	0	0	4	4.5	1	0	0	0
26	0.5Y3	0	0	0	0	0	0	4	14/3	1	0	0	0
27	10Y3	0	0	0	0	0	0	3	8/3	1	0	0	0
28	2.5Y3	0	0	0	0	0	0	0	10/3	1	4	10/3	-1
29	4M3	-2	6	1	0	0	0	2	5	1	0	0	0
30	M3	0	0	0	0	0	0	4	4.5	1	0	0	0
31	5M3	0	0	0	0	0	0	2.5	2	1	0	0	0
32	M3	0	0	0	0	0	0	0.5	0	1	0	0	0
33	5M3	0	0	0	0	0	0	0	2.5	1	4	2.5	-1



34	8X4	0	0	0	8/3	-6	-1	0	0	0	8/3	5	-1
35	20X4	0	0	0	0	0	0	0	2.5	1	4	2.5	-1
36	8X4	0	0	0	0	0	0	0	0	0	8/3	0	-1
37	20Y4	0	0	0	2	-6	-1	0	0	0	2	5	-1
38	12.5Y4	0	0	0	0	0	0	0	10/3	1	4	10/3	-1
39	4M4	0	0	0	-2	6	1	0	0	0	-2	-5	1
40	5M4	0	0	0	0	0	0	0	-2.5	-1	-4	-2.5	1
41	4M1	0	0	0	0	0	0	0	0	0	-2	0	1
42	72000	4	-4.5	-1	0	0	0	0	0	0	0	0	0
43	20000	2	-6	-1	0	0	0	-2	-5	-1	0	0	0
44	72000	0	4.5	1	4	-4.5	-1	0	0	0	0	0	0
45	64000	0	0	0	2	-6	-1	0	0	0	2	5	-1
46	1000/3	0	0	0	0	0	0	4	19/4	1	0	0	0
47	5000	0	0	0	0	0	0	4	14/3	1	0	0	0
48	20000	0	0	0	0	0	0	4	4.5	1	0	0	0
49	100000/3	0	0	0	0	0	0	3.25	3	1	0	0	0
50	125000/3	0	0	0	0	0	0	0	-3.75	-1	-4	-3.75	1

Valores que aplicando el Método de las SY da el sistema de ecuaciones siguiente:

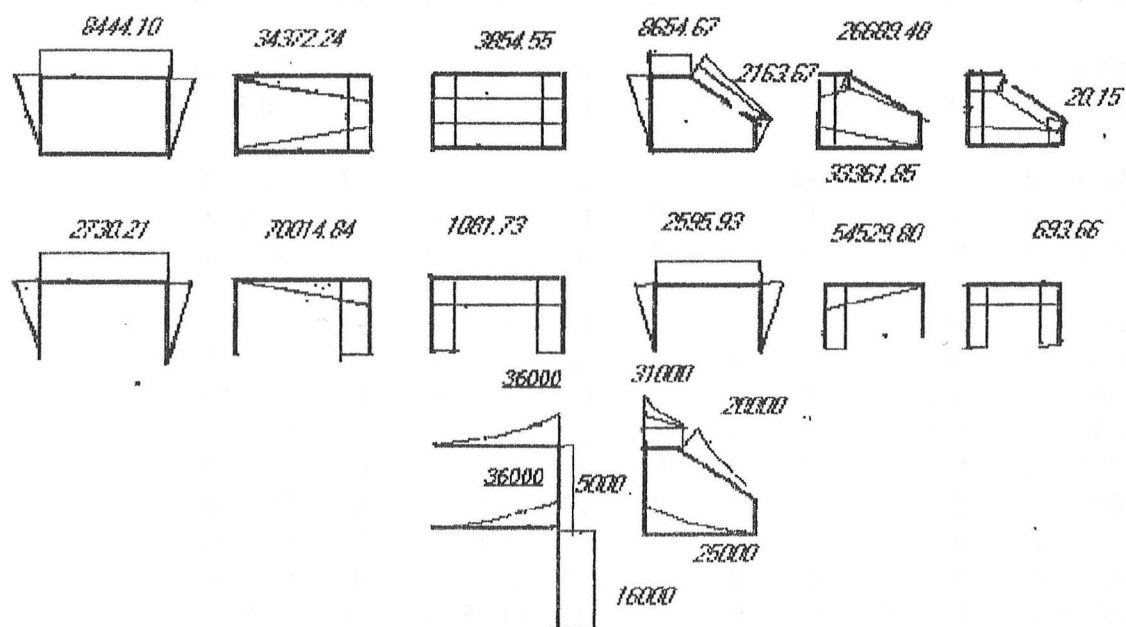
X1	Y1	M1	X2	Y2	M2	X3	Y3	M3	X4	Y4	M4	IND
138.6	-120	-40	0	0	0	-21.3	-40	-8	0	0	0	= -32800
-120	288	60	72	-72	-18	48	120	24	0	0	0	= 120000
-40	60	20	24	-18	-6	8	20	4	0	0	0	= 20000
0	72	24	138.6	-120	-40	0	0	0	21.3	40	-8	= -416000
0	-72	-18	-120	216	42	0	0	0	-48	-120	24	= 708000
0	-18	-6	-40	42	14	0	0	0	-8	-20	4	= 136000
-21.3	48	8	0	0	0	72.6	88	25	0	0	0	= -169666.6
-40	120	20	0	0	0	88	188.6	47	50	41.6	-12.5	= 41333.3
-8	24	4	0	0	0	25	47	16	20	12.5	-5	= 3000
0	0	0	21.3	-48	-8	0	50	20	122.6	90	-36	= 38666.6
0	0	0	40	120	-20	0	41.6	12.5	90	141.6	-32.5	= -163750
0	0	0	-8	24	4	0	-12.5	-5	-36	-32.5	13	= 22333.3

que resuelto da

$$X1=2111.02/Y1=5728.71/M1=3854.55/X2=682.55/Y2=11669.14/M2=1081.73$$

$$X3=2163.67/Y3=-6672.37/M3=-20.15/X4=-648.98/Y4=10905.96/M4=-693.66$$

que llevados a sus respectivos diagramas se convierten en los numéricos

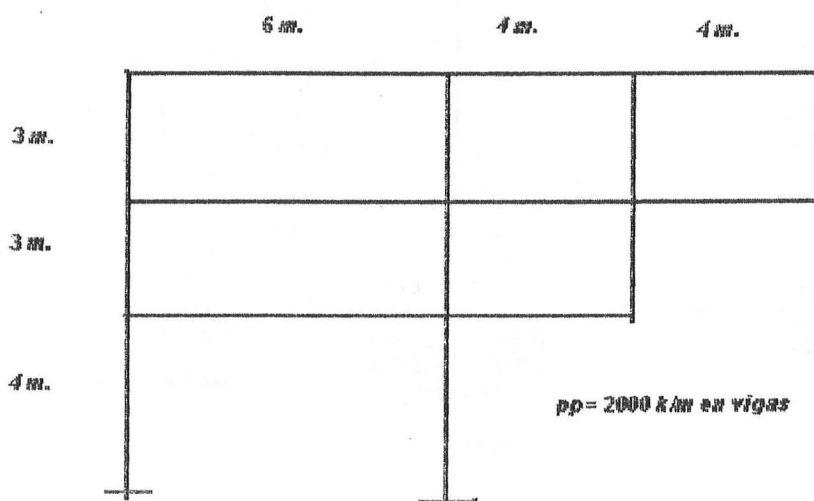


que sumándolos todos dan el diagrama definitivo de esta hipótesis de carga

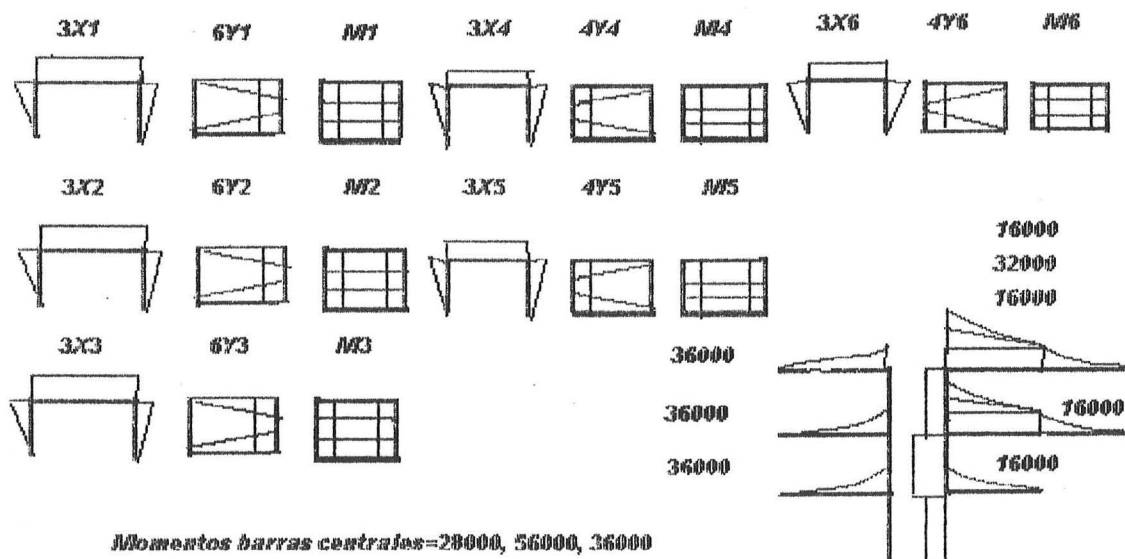


## EJERCICIO n° 22

Estudio de la estructura siguiente



Seccionando la estructura en las bases de los pilares que no son centrales se producen seis cortes con dieciocho incognitas, cuatro horizontales, cuatro verticales y cuatro de momentos, que junto a los la hipótesis de carga se obtienen los diagramas de momentos



de donde midiendo las areas y las ordenadas correspondientes dan los datos siguientes

Num.	S	X1	Y1	M1	X2	Y2	M2	X3	Y3	M3	X4	Y4	M4	X5	Y5	M5	X6	Y6	M6
1	4.5X1	2	0	-1	0	0	0	0	0	0	0	0	0	0	0	0	0	0	0
2	18X1	3	-3	-1	0	0	0	0	0	0	0	0	0	0	0	0	0	0	0
3	4.5X1	2	-6	-1	0	0	0	0	0	0	-2	4	1	0	0	0	0	0	0
4	18Y1	-3	4	1	0	0	0	0	0	0	0	0	0	0	0	0	0	0	0
5	18Y1	-1.5	6	1	0	0	0	0	0	0	1.5	-4	-1	0	0	0	0	0	0
6	18Y1	0	4	1	3	-4	-1	0	0	0	0	0	0	0	0	0	0	0	0
7	3M1	-1.5	0	1	0	0	0	0	0	0	0	0	0	0	0	0	0	0	0
8	6M1	-3	3		1	0	0	0	0	0	0	0	0	0	0	0	0	0	0
9	3M1	-1.5	6	1	0	0	0	0	0	0	1.5	-4	-1	0	0	0	0	0	0
10	6M1	0	3	1	3	-3	-1	0	0	0	0	0	0	0	0	0	0	0	0
11	4.5X2	0	0	0	2	0	-1	0	0	0	0	0	0	0	0	0	0	0	0
12	18X2	0	3	1	3	-3	-1	0	0	0	0	0	0	0	0	0	0	0	0
13	4.5X2	0	0	0	2	-6	-1	0	0	0	0	0	-2	4	1	0	0	0	0
14	18Y2	0	-4	-1	-3	4	1	0	0	0	0	0	0	0	0	0	0	0	0
15	18Y2		0	0	0	-1.5	6	1	0	0	0	0	0	1.5	-4	-1	0	0	0
16	18Y2	0	0	0	0	4	1	4	-4	-1	0	0	0	0	0	0	0	0	0
17	3M2	0	0	0	-1.5	0	1	0	0	0	0	0	0	0	0	0	0	0	0
18	6M2		0	-3	-1	-3	3	1	0	0	0	0	0	0	0	0	0	0	0
19	3M2	0	0	0	-1.5	6	1	0	0	0	0	0	1.5	-4	-1	0	0	0	0
20	6M2	0	0	0	0	3	1	4	-3	-1	0	0	0	0	0	0	0	0	0
21	8X3	0	0	0	0	0	0	8/3	0	-1	0	0	0	0	0	0	0	0	0
22	24X3	0	0	0	0	3	1	4	-3	-1	0	0	0	0	0	0	0	0	0
23	8X3	0	0	0	0	0	0	8/3	-6	-1	0	0	0	0	0	0	0	0	0
24	18Y3	0	0	0	0	-4	-1	-4	4	1	0	0	0	0	0	0	0	0	0
25	24Y3	0	0	0	0	0	0	-2	6	1	0	0	0	0	0	0	0	0	0
26	4M3	0	0	0	0	0	0	-2	0	1	0	0	0	0	0	0	0	0	0
27	6M3	0	0	0	0	-3	-1	-4	3	1	0	0	0	0	0	0	0	0	0
28	4M3	0	0	0	0	0	0	-2	6	1	0	0	0	0	0	0	0	0	0
29	4.5X4	-2	6	1	0	0	0	0	0	0	2	-4	-1	0	0	0	0	0	0
30	12X4	0	0	0	0	0	0	0	0	0	3	-2	-1	0	0	0	0	0	0
31	4.5X4	0	0	0	0	0	0	0	0	0	2	0	-1	0	0	0	-2	4	1
32	12Y4	1.5	-6	-1	0	0	0	0	0	0	-1.5	4	1	0	0	0	0	0	0
33	8Y4	0	0	0	0	0	0	0	0	0	-3	8/3	1	0	0	0	0	0	0
34	8Y4	0	0	0	0	0	0	0	0	0	8/3	1	3	-8/3	-1	0	0	0	0

35	3M4	1.5	-6	-1	0	0	0	0	0	0	-1.5	4	1	0	0	0	0	0
36	4M4	0	0	0	0	0	0	0	0	0	-3	2	1	0	0	0	0	0
37	3M4	0	0	0	0	0	0	0	0	0	-1.5	0	1	0	0	0	1.5	-4
38	4M4	0	0	0	0	0	0	0	0	0	0	2	1	3	-2	-1	0	0
39	4.5X5	0	0	0	-2	6	1	0	0	0	0	0	0	2	-4	-1	0	0
40	12X5	0	0	0	0	0	0	0	0	0	0	2	1	3	-2	-1	0	0
41	4.5X5	0	0	0	0	0	0	0	0	0	0	0	0	2	0	-1	0	0
42	12Y5	0	0	0	1.5	-6	-1	0	0	0	0	0	0	-1.5	4	1	0	0
43	8Y5	0	0	0	0	0	0	0	0	0	0	-8/3	-1	-3	8/3	1	0	0
44	8Y5	0	0	0	0	0	0	0	0	0	0	0	0	0	8/3	1	0	0
45	3M5	0	0	0	1.5	-6	-1	0	0	0	0	0	0	-1.5	4	1	0	0
46	4M5	0	0	0	0	0	0	0	0	0	0	-2	-1	-3	2	1	0	0
47	3M5	0	0	0	0	0	0	0	0	0	0	0	0	-1.5	0	1	0	0
48	4M5	0	0	0	0	0	0	0	0	0	0	0	0	0	2	1	0	0
49	4.5X6	0	0	0	0	0	0	0	0	0	-2	0	1	0	0	0	2	-4
50	12X6	0	0	0	0	0	0	0	0	0	0	0	0	0	0	0	3	-2
51	4.5X6	0	0	0	0	0	0	0	0	0	0	0	0	0	0	0	2	0
52	12Y6	0	0	0	0	0	0	0	0	0	1.5	0	-1	0	0	0	-1.5	4
53	8Y6	0	0	0	0	0	0	0	0	0	0	0	0	0	0	0	-3	8/3
54	8Y6	0	0	0	0	0	0	0	0	0	0	0	0	0	0	0	0	8/3
55	3M6	0	0	0	0	0	0	0	0	0	1.5	0	-1	0	0	0	-1.5	4
56	4M6	0	0	0	0	0	0	0	0	0	0	0	0	0	0	0	-3	2
57	3M6	0	0	0	0	0	0	0	0	0	0	0	0	0	0	0	-1.5	0
58	4M6	0	0	0	0	0	0	0	0	0	0	0	0	0	0	0	0	2
59	72000	3	-4.5	-1	0	0	0	0	0	0	0	0	0	0	0	0	0	0
60	84000	-1.5	6	1	0	0	0	0	0	0	1.5	-4	-1	0	0	0	0	0
61	72000	0	4.5	1	3	-4.5	1	0	0	0	0	0	0	0	0	0	0	0
62	168000	0	0	0	-1.5	6	1	0	0	0	0	0	0	1.5	-4	-1	0	0
63	72000	0	0	0	0	4.5	1	4	-4.5	-1	0	0	0	0	0	0	0	0
64	144000	0	0	0	0	0	0	-8/3	6	1	0	0	0	0	0	0	0	0
65	64000/3	0	0	0	0	0	0	0	0	0	3	-3	-1	0	0	0	0	0
66	64000	0	0	0	0	0	0	0	0	0	3	-8/3	-1	0	0	0	0	0
67	64000	0	0	0	0	0	0	0	0	0	3	-2	-1	0	0	0	0	0
68	64000/3	0	0	0	0	0	0	0	0	0	0	3	1	3	-3	-1	0	0

69	64000	0	0	0	0	0	0	0	0	0	0	8/3	1	3	-8/3	-1	0	0	0
70	64000	0	0	0	0	0	0	0	0	0	0	2	1	3	-2	-1	0	0	0
71	64000/3	0	0	0	0	0	0	0	0	0	0	0	0	3	-3	-1	0	0	0
72	64000/3	0	0	0	0	0	0	0	0	0	0	0	0	0	0	0	3	-3	-1
73	64000/3	0	0	0	0	0	0	0	0	0	0	0	0	0	0	0	0	3	1

Y aplicando el Método de las SY sale el sistema de ecuaciones

X1	Y1	M1	X2	Y2	M2	X3	Y3	M3	X4	Y4	M4	X5	Y5	M5	X6	Y6	M6	IND
72	-81	-27	0	0	0	0	0	0	-9	18	4.5	0	0	0	0	0	0	-90000
-81	252	54	54	-72	-18	0	0	0	27	-72	-18	0	0	0	0	0	0	-504000
-27	54	18	18	-18	-6	0	0	0	4.5	-12	-3	0	0	0	0	0	0	-84000
0	54	18	72	-81	-27	0	0	0	0	0	-9	18	4.5	0	0	0	0	36000
0	-72	-18	-81	252	54	72	-72	-18	0	0	0	27	-72	-18	0	0	0	-1008000
0	-18	-6	-27	54	18	24	-18	-6	0	0	0	4.5	-12	-3	0	0	0	-312000
0	0	0	0	72	24	138.6	-120	-40	0	0	0	0	0	0	0	0	0	96000
0	0	0	0	-72	-18	-120	216		42	0	0	0	0	0	0	0	0	-540000
0	0	0	0	-18	-6	-40	42	14	0	0	0	0	0	0	0	0	0	-72000
-9	27	4.5	0	0	0	0	0	0	54	-42	-21	0	0	0	-9	18	4.5	-574000
18	-72	-12	0	0	0	0	0	0	-42	90.6	28	24	-21.3	-8	0	0	0	336000
4.5	-18	-3	0	0	0	0	0	0	-21	28	14	12	-8	-4	4.5	-12	-3	84000
0	0	0	-9	27	4.5	0	0	0	0	24	12	54	-42	-21	0	0	0	-764000
0	0	0	18	-72	-12	0	0	0	-21.3	-8	-42	90.6	28	0	0	0	0	1098666.6
0	0	0	4.5	-18	-3	0	0	0	-8	-4	-21	28	14	0	0	0	0	338666.6
0	0	0	0	0	0	0	0	0	-9	0	4.5	0	0	0	54	-42	-21	-64000
0	0	0	0	0	0	0	0	0	18	0	-12	0	0	0	-42	90.6	28	0
0	0	0	0	0	0	0	0	0	4.5	0	-3	0	0	0	-21	28	14	0

Que resuelto da los valores para las incognitas

X1 = -3037.995	Y1 = 811.9566	M1 = -592.5665
X2 = -34001.92	Y2 = 365.4151	M2 = -87595.49
X3 = 19827.91	Y3 = -3526.918	M3 = 25017.96
X4 = -8558.009	Y4 = 6817.013	M4 = -4716.338
X5 = -17156.02	Y5 = -1141.419	M5 = -4084.266
X6 = -3700.245	Y6 = 1405.501	M6 = -6621.225

que llevados a sus respectivos diagramas se convierten en los numéricos









24	3M3	1.5	-6	-1	0	0	0	0	-1.5	-4	1
25	5M3	0	0	0	0	0	0	0	-1.5	-2	1
26	4M3	0	0	0	0	0	0	0	0	-2	1

Hipótesis de cargas

	I	II	III	IV									
27	144000	86400	144000	86400	3	-4.5	-1	0	0	0	0	0	0
28	66666.6	66666.6	40000	40000	0	0	0	0	0	0	2.25	3	-1
29	96000	9600	144000	57600	1.5	-6	-1	0	0	0	-1.5	-4	1
30	144000	86400	144000	86400	0	4.5	1	4	-4.5	-1	0	0	0
31	25600	25600	25600	25600	0	0	0	0	0	0	0	-3	1
32	339200	108800	403200	172800	0	0	0	2	-6	-1	0	0	0

Que operando con el Método da el sistema con los cuatro vectores independientes de las hipótesis

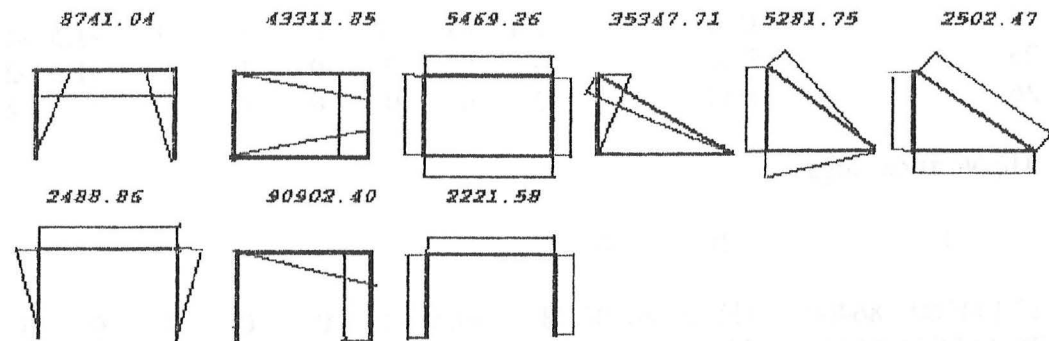
X1	Y1	M1	X2	Y2	M2	X3	Y3	M3	H-I	H-II	H-III	H-IV
72	-81	-27	0	0	0	-9	-18	4.5	-576000	-273600	-648000	-345600
-81	252	54	72	-72	-18	27	72	-18	576000	57600	864000	345600
-27	54	18	24	-18	-6	4.5	12	-3	96000	9600	144000	57600
0	72	24	138.6	-120	-40	0	0	0	-1254400	-563200	-1382400	-69120
0	-72	-18	-120	216	42	0	0	0	2683200	1041600	3067200	142560
0	-18	-6	-40	42	14	0	0	0	483200	195200	547200	259200
-9	27	4.5	0	0	0	24	38	-12	-6000	-135600	126000	-3600
-18	72	12	0	0	0	38	96	-30	260800	-84800	532800	187200
4.5	-18	-3	0	0	0	-12	-30	12	-54933.3	31466.6	-129600	-43200

Que resueltos los cuatro sistemas dan los valores

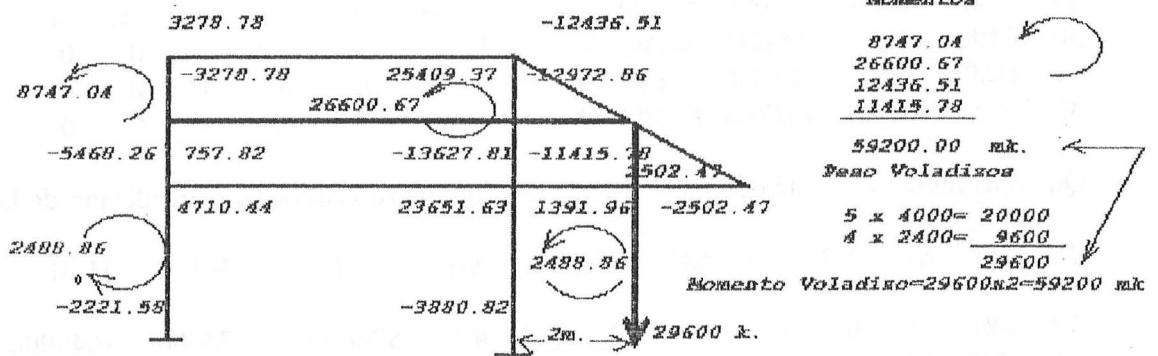
	H-I	H-II	H-III	H-IV
X1=	-2915.683	-5370.969	422.8445	-2878.1285
Y1=	7218.641	2444.076	8551.2620	3776.6958
M1=	-5468.258	-8800.877	-1696.7128	-5029.3934
X2=	622.215	188.055	687.0928	252.9298
Y2=	15150.400	5555.483	17550.2524	7955.3392
M2=	-2221.575	-2815.714	-1334.6334	-1928.7776
X3=	-11782.57	-12387.61	-8190.8333	-8795.8813
Y3=	1321.438	1444.163	2296.3768	2419.1032
M3=	-2502.472	-2674.976	-688.6271	-861.1298

Sustituyendo estos valores en sus respectivos diagramas de las hipótesis de cargas resultan

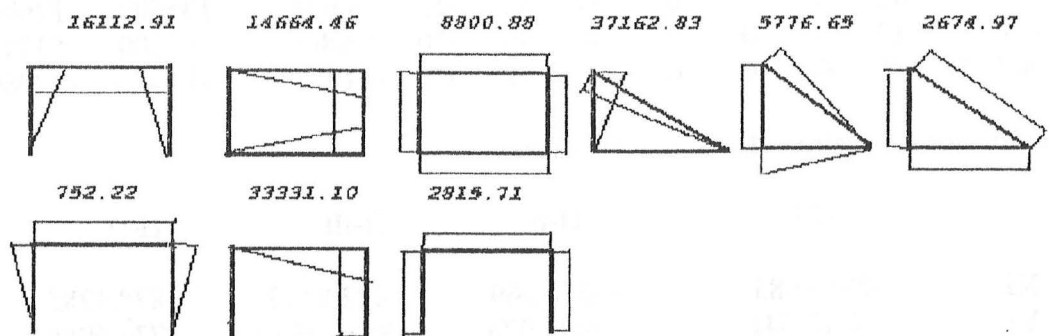
CASO HIPOTESIS I



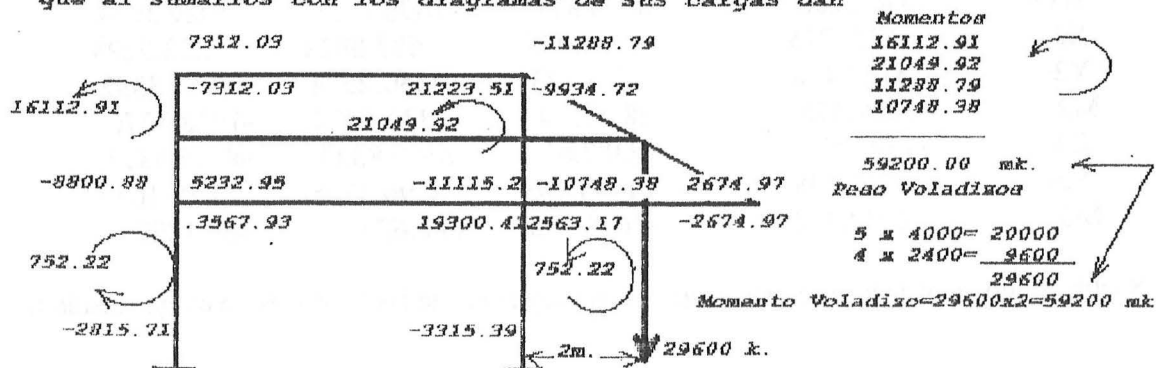
que al sumarlos con los diagramas de sus cargas dan



CASO HIPOTESIS II

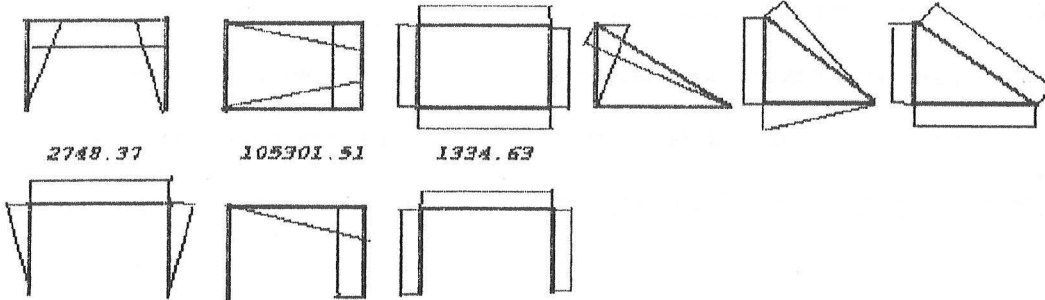


que al sumarlos con los diagramas de sus cargas dan

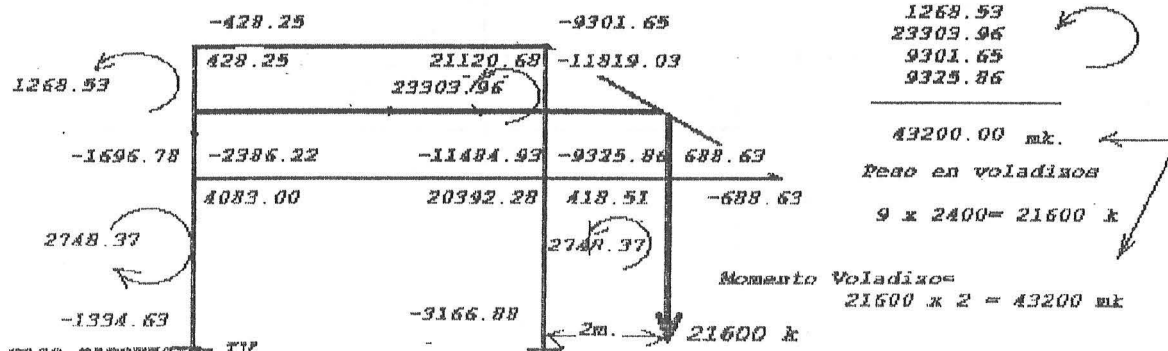


## CASO HIPOTESIS III

1268.53      51307.57      1696.78      24572.49      9185.51      688.63

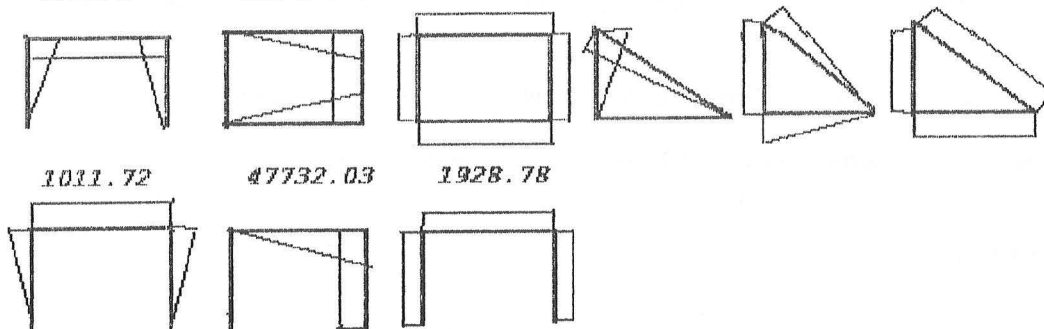


que al sumarlos con los diagramas de sus cargas dan

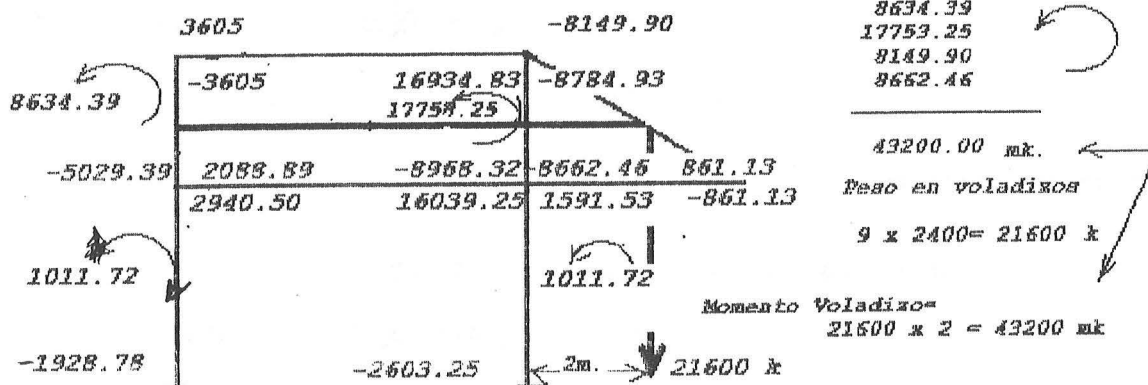


## CASO HIPOTESIS IV

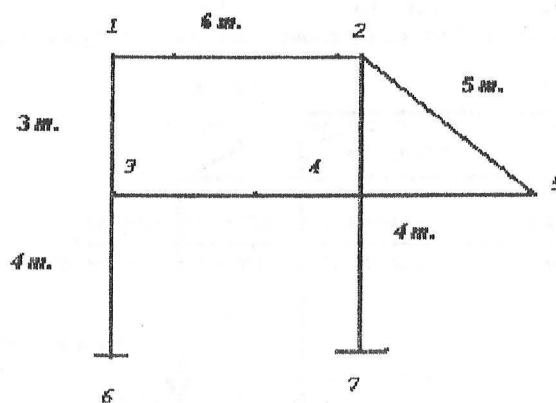
8634.39      22660.17      5029.39      26387.64      9676.41      861.13



que al sumarlos con los diagramas de sus cargas dan



En los cuatro casos se observa que el momento volcador de las cargas en el triángulo voladizo respecto al pilar inferior derecho, es equilibrado por la suma de los momentos de las barras 1-3, 2-4, 2-5, y 4-5. Utilizando dicha propiedad calculemos la misma estructura con sus cuatro hipótesis por el Método de las Rotaciones, suponiendo igualmente que las barras no pesan.



$$K_{12}=K_{34}=4EI/6=20 \quad K_{45}=K_{36}=K_{47}=4EI/4=30 \quad K_{13}=K_{24}=4EI/3=40 \quad K_{25}=4EI/5=24$$

Para saber el comportamiento de las barras del triángulo 245 respecto al desplazamiento del cuadrilátero 1234, aplicamos el Teorema de las Proyecciones para el referido triángulo

Proyecciones verticales

$$3 \Delta_{24} - 3 \Delta_{25} = 0 \quad \text{y como} \quad \Delta_{24} = 3 \Delta_{24} = \Delta_1$$

$$\text{y} \quad \Delta_{25} = 5 \Delta_{25} \quad \text{queda}$$

$$\Delta_{25} = 5 \Delta_1 / 3$$

Proyecciones horizontales

$$4 \Delta_{25} - 4 \Delta_{45} = 0 \quad \text{y como} \quad \Delta_{25} = 5 \Delta_{25}$$

$$\text{y} \quad \Delta_{45} = 4 \Delta_{45} \quad \text{queda}$$

$$\Delta_{45} = 4 \Delta_1 / 3$$

Por lo que expresando los giros de los nudos 1, 2, 3, 4, y 5 quedan las expresiones de los momentos



	H1	HII	HIH	HIV
M12= 20 $\theta_1$ + 10 $\theta_2$	-12000	-7200	-12000	-7200
M21= 10 $\theta_1$ + 20 $\theta_2$	12000	7200	12000	7200
M34= 20 $\theta_3$ + 10 $\theta_4$	-12000	-7200	-12000	-7200
M43= 10 $\theta_3$ + 20 $\theta_4$	12000	7200	12000	7200
M25= 24 $\theta_2$ + 12 $\theta_5$ + 12 $\Delta_1$	-6666.6	-6666.6	-4000	-4000
M52= 12 $\theta_2$ + 24 $\theta_5$ + 12 $\Delta_1$	6666.6	6666.6	4000	4000
M45= 30 $\theta_4$ + 15 $\theta_5$ + 15 $\Delta_1$	-3200	-3200	-3200	-3200
M54= 15 $\theta_4$ + 30 $\theta_5$ + 15 $\Delta_1$	3200	3200	3200	3200
M13= 40 $\theta_1$ + 20 $\theta_3$ + 20 $\Delta_1$				
M31= 20 $\theta_1$ + 40 $\theta_3$ + 20 $\Delta_1$				
M24= 40 $\theta_2$ + 20 $\theta_4$ + 20 $\Delta_1$				
M42= 20 $\theta_2$ + 40 $\theta_4$ + 20 $\Delta_1$				
M36= 30 $\theta_3$ + 11.25 $\Delta_2$				
M63= 15 $\theta_3$ + 11.25 $\Delta_2$				
M47= 30 $\theta_4$ + 11.25 $\Delta_2$				
M74= 15 $\theta_4$ + 11.25 $\Delta_2$				

## Equilibrio de Nudos

	HI	HII	HIH	HIV
1) M12 + M13= 60 $\theta_1$ + 10 $\theta_2$ + 20 $\theta_3$ + 20 $\Delta_1$	-12000	-7200	-12000	-7200 = 0
2) M21 + M24 + M25= 10 $\theta_1$ + 84 $\theta_2$ + 20 $\theta_4$ + 12 $\theta_5$ + 32 $\Delta_1$	5333.3	533.3	8000	3200 = 0
3) M31 + M34 + M36= 20 $\theta_1$ + 90 $\theta_3$ + 10 $\theta_4$ + 20 $\Delta_1$ + 11.25 $\Delta_2$	-12000	-7200	-12000	-7200 = 0
4) M42 + M43 + M45 + M47= 20 $\theta_2$ + 10 $\theta_3$ + 120 $\theta_4$ + 15 $\theta_5$ + 35 $\Delta_1$ + 11.25 $\Delta_2$	8800	4000	8800	4000 = 0
5) M52 + M54= 12 $\theta_2$ + 15 $\theta_4$ + 54 $\theta_5$ + 27 $\Delta_1$	9866.6	9866.6	7200	7200 = 0

Empuje 1-2  $(M13+M31+M24+M42+M25+M52+M45+M54)/3 =$   
 $20 \theta_1 + 32 \theta_2 + 20 \theta_3 + 35 \theta_4 + 27 \theta_5 + 44.6 \Delta_1$  19733.3 19733.3 14400 14400 = 0

Empuje 3-4  $(M36+M63+M47+M74)/4 =$   
 $11.25 \theta_3 + 11.25 \theta_4 + 11.25 \Delta_2$  0 = 0

## Que ocasiona el sistema de ecuaciones

$\theta_1$	$\theta_2$	$\theta_3$	$\theta_4$	$\theta_5$	$\Delta_1$	$\Delta_2$	HI	HII	HIH	HIV
60	10	20	0	0	20	0	= 12000	7200	12000	7200
10	84	0	20	12	32	0	= -5333.3	-533.3	-8000	-3200
20	0	90	10	0	20	11.25	= 12000	7200	12000	7200
0	20	10	120	15	35	11.25	= -8800	-4000	-8800	-4000
0	12	0	15	54	27	0	= -9866.6	-9866.6	-7200	-7200
20	32	20	35	27	44.6	0	= -19733.3	-19733.3	-14400	-14400
0	0	11.25	11.25	0	0	11.25	= 0	0	0	0

## Que resueltos dan los valores

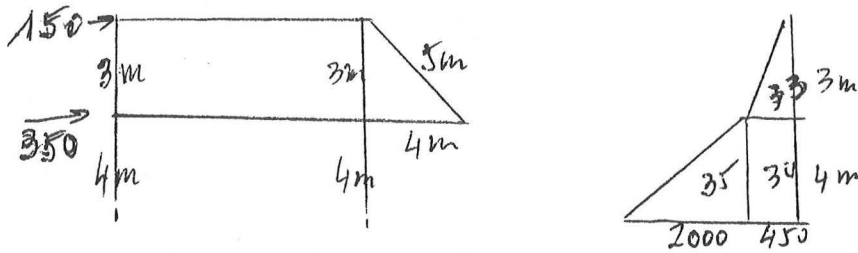
	HI	HII	HIH	HIV
$\theta_1 =$	571.6072	500.0181	467.4275	395.8384
$\theta_2 =$	384.6645	451.1669	222.3201	288.8225
$\theta_3 =$	462.1332	425.5757	361.1759	324.6183
$\theta_4 =$	351.5161	392.1431	239.0260	279.6530
$\theta_5 =$	518.8031	503.7027	388.1753	373.0748
$\Delta_1 =$	-1769.2870	-1791.2133	-1274.6184	-1296.5447
$\Delta_2 =$	-813.6493	-817.7187	-600.2019	-604.2713

que sustituidos en las expresiones de los momentos dan

M12=	3278.78	7312.03	-428.25	3605.00
M21=	25409.36	21223.52	21120.68	16934.83
M34=	757.83	5232.94	-2386.22	2088.89
M43=	23651.65	19298.62	20392.28	16039.24
M25=	-12440.53	-11288.79	-9301.63	-8149.90
M52=	2502.47	2674.97	688.63	861.13
M45=	-11415.78	-10748.37	-9325.87	-8862.46
M54=	-2502.47	-2674.97	-688.63	-861.13
M13=	-3278.79	-7312.03	428.25	-3605.00
M31=	-5468.27	-8800.88	-1696.78	-5029.39
M24=	-12968.84	-9934.73	-11819.04	-8784.93
M42=	-13631.81	-11115.21	-11484.92	-8968.32
M36=	4710.44	3567.93	4083.00	2940.50
M63=	-2221.56	-2815.70	-1334.63	-1928.78
M47=	1391.93	2564.96	418.51	1591.54
M74=	-3880.81	-3317.19	-3166.88	-2603.26

que dan los mismos valores que con el Método de las SY, lo cual demuestra la realidad del equilibrio del momento de vuelco con la suma de los momentos que se han tenido en cuenta de las barras 1-3,2-4, 2-5, y 4-5.

Si en el ejercicio anterior se hubiese considerado el empuje de viento (hacia derecha) de 100 k/m. para el caso primero, al aplicar el Método de las SY se tendrían tres diagramas de momentos que darían



N <sup>o</sup>	S	X1	Y1	M1	X2	Y2	M2	X3	Y3	M3
33	675	-1	6	1	0	0	0	1	4	-1
34	1800	0	0	0	-2	6	1	0	0	0
35	4000	0	0	0	-4/3	6	1	0	0	0

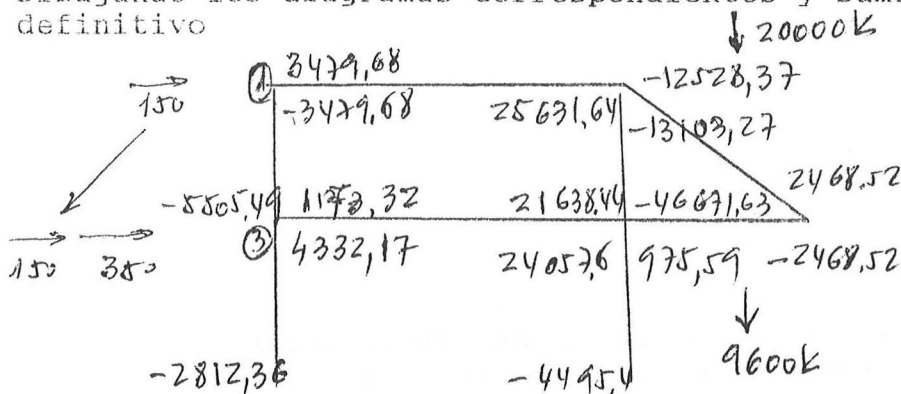
que al considerarlos incluidos en el caso 1º darían los términos independientes del sistema

-575325	571950	95325	-12454466.6	2648400	477400	-6675
					258100	-54258.3

que resuelto da

X1= -2995.056	Y1= 7148.114	M1= -5505.487
X2= 379.953	Y2= 14942.96	M2= -2812.357
X3=-11767.60	Y3= 1340.66	M3= -2468.523

Dibujando los diagramas correspondientes y sumandolos da el definitivo



Observase que el par de vuelco viene incrementado por el momento del empuje en nudo 1, con respecto al 3.

$$\begin{array}{r} -3479,68 \\ -5505,49 \\ -13103,27 \\ 21638,44 \\ -12528,37 \\ -46671,63 \\ \hline \text{Suma} -59650 \text{ mlk} \end{array}$$

Par de vuelco

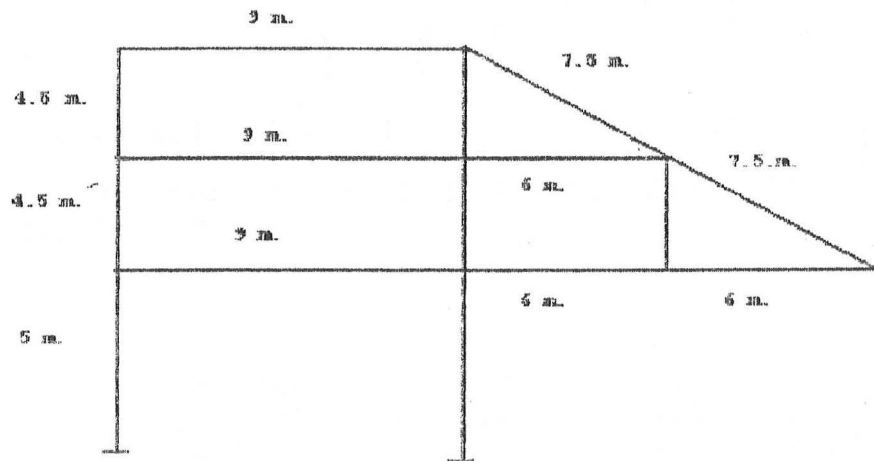
$$\begin{aligned} (20000 + 9600) \times 2 &= 59200 \\ \text{Viento } 150 \times 3 &= \frac{450}{59650 \text{ kNk}} \end{aligned}$$

Empuje de calculo en nudo 1

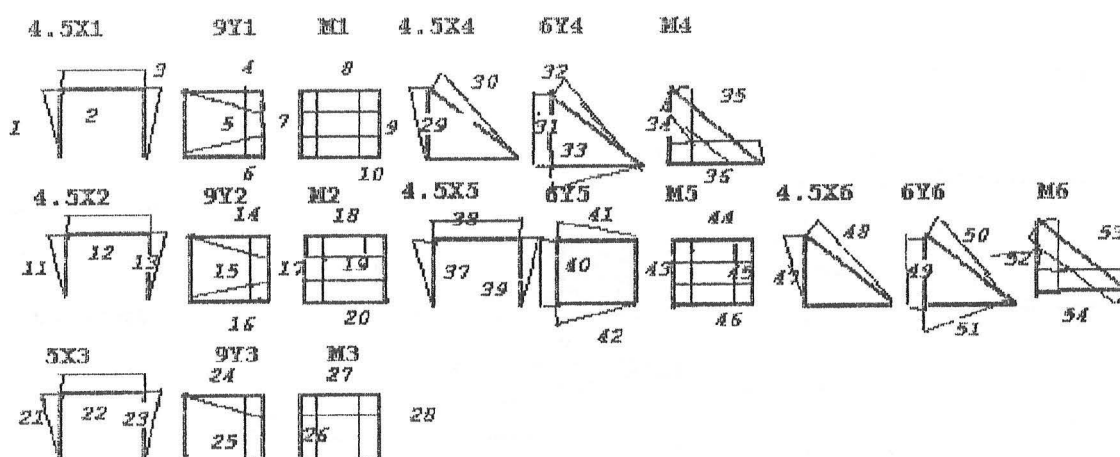
$$59650 / 3 = 19883,3 \text{ k.}$$

## 93

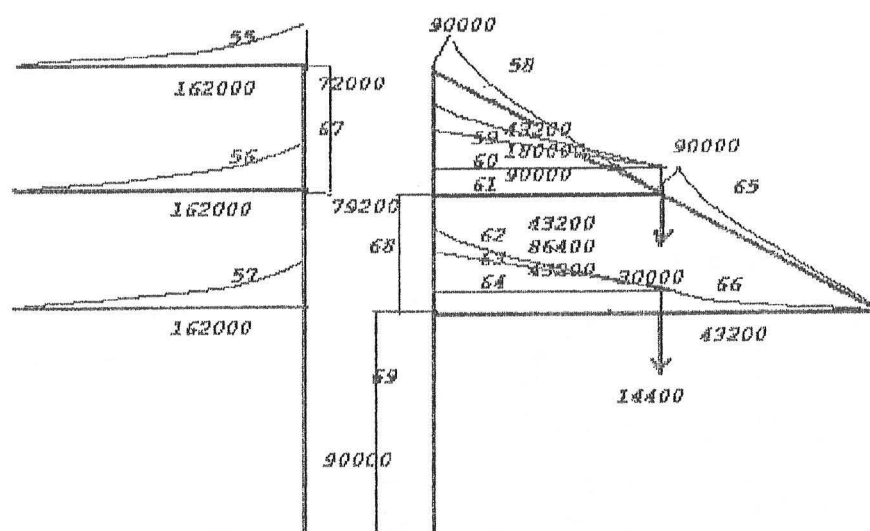
Estudio de la estructura siguiente



Seccionando la estructura en las bases de los pilares que no son centrales se producen seis cortes que ocasionan dieciocho incógnitas que junto a los la hipótesis de carga se obtienen los diagramas de momentos



### Hipotesis I



$$4000 \times 81 / 2 = 162000 \text{ mk}$$

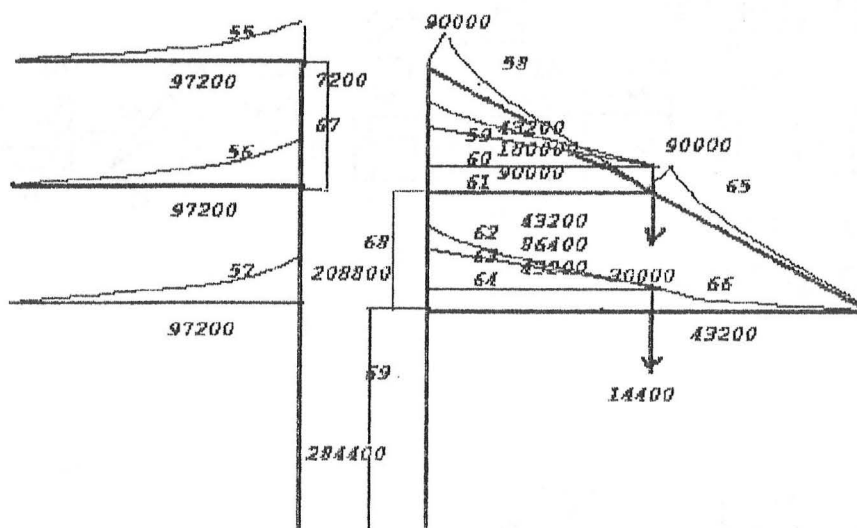
$$4000 \times 0.8 \times 7.5 / 2 = 90000 \text{ mk}$$

$$4000 \times 7.5 = 30000 \text{ k.}$$

$$2400 \times 36 / 2 = 43200 \text{ mk}$$

$$2400 \times 6 = 14400 \text{ k.}$$

## Hipotesis II

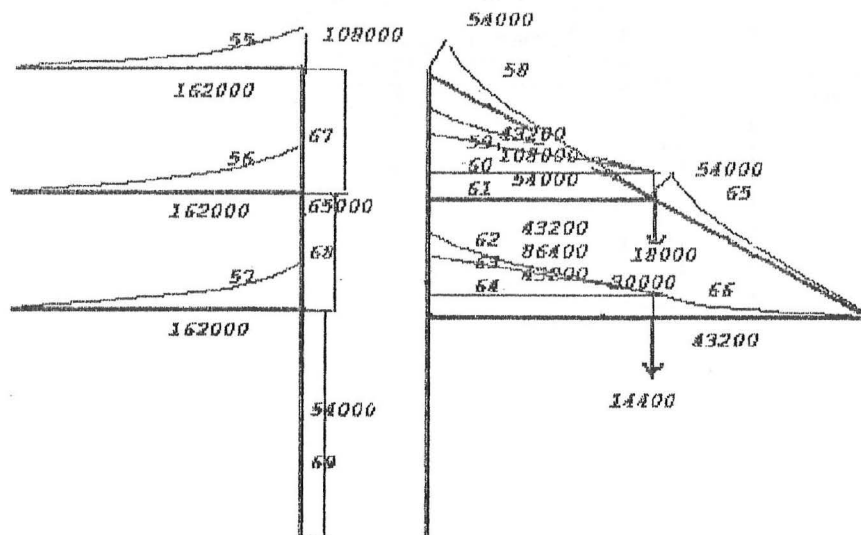


$$2400 \text{ KSI} / 2 = 97200 \text{ psi}.$$

$$4000 \times 7.5 = 30000 \text{ K.}$$

2400X5 = 12000

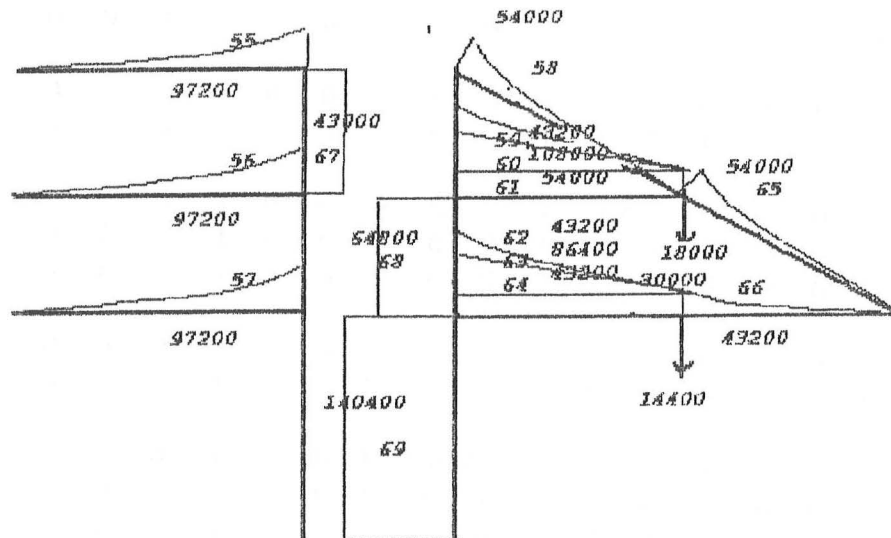
### Hipotesis III



$$2400 \times 0.9 \times 7.5 / 2 = 54000$$

$$2400 \times 7.5 = 18000$$

## Hipotesis IV



Num	S	X1	Y1	M1	X2	Y2	M2	X3	Y3	M3	X4	Y4	M4	X5	Y5	M5	X6	Y6	M6
X1	1	10.125	3	0	-1	0	0	0	0	0	0	0	0	0	0	0	0	0	0
	2	40.5	4.5	-4.5	-1	0	0	0	0	0	0	0	0	0	0	0	0	0	0
	3	10.125	3	-9	-1	0	0	0	0	0	3	-6	1	0	0	0	0	0	0
Y1	4	40.5	-4.5	6	1	0	0	0	0	0	0	0	0	0	0	0	0	0	0
	5	40.5	-2.25	9	1	0	0	0	0	0	2.25	6	-1	0	0	0	0	0	0
	6	40.5	0	6	1	4.5	-6	-1	0	0	0	0	0	0	0	0	0	0	0
M1	7	4.5	-2.25	0	1	0	0	0	0	0	0	0	0	0	0	0	0	0	0
	8	9	-4.5	4.5	1	0	0	0	0	0	0	0	0	0	0	0	0	0	0
	9	4.5	-2.25	9	1	0	0	0	0	0	2.25	6	-1	0	0	0	0	0	0
	10	9	0	4.5	1	4.5	-4.5	-1	0	0	0	0	0	0	0	0	0	0	0
X2	11	10.125	0	0	0	3	0	-1	0	0	0	0	0	0	0	0	0	0	0
	12	40.5	0	4.5	1	4.5	-4.5	-1	0	0	0	0	0	0	0	0	0	0	0
	13	10.125	0	0	0	3	-9	-1	0	0	0	0	0	-3	-6	1	0	0	0
Y2	14	40.5	0	-6	-1	-4.5	6	1	0	0	0	0	0	0	0	0	0	0	0
	15	40.5	0	0	0	-2.25	9	1	0	0	0	0	0	2.25	6	-1	0	0	0
	16	40.5	0	0	0	0	6	1	5	-6	-1	0	0	0	0	0	0	0	0
M2	17	4.5	0	0	0	-2.25	0	1	0	0	0	0	0	0	0	0	0	0	0
	18	9	0	-4.5	-1	-4.5	4.5	1	0	0	0	0	0	0	0	0	0	0	0
	19	4.5	0	0	0	-2.25	9	1	0	0	0	0	0	2.25	6	-1	0	0	0
	20	9	0	0	0	0	4.5	1	5	-4.5	-1	0	0	0	0	0	0	0	0







66	86400	0	0	0	0	0	0	0	0	0	0	0	0	0	0	0	0	-4.5	1
	86400																		
	86400																		
	86400																		
67	324000	2.25	-9	-1	0	0	0	0	0	0	-2.25	-6	1	0	0	0	0	0	0
	324000																		
	486000																		
	194400																		
68	356400	0	0	0	-2.25	9	1	0	0	0	0	0	0	2.25	6	-1	0	0	0
	939600																		
	-291600																		
	291600																		
69	450000	0	0	0	0	0	0	-2.5	9	1	0	0	0	0	0	0	0	0	0
	1422000																		
	-2700000																		
	702000																		

Que operando con el Método da el sistema de ecuaciones con los cuatro vectores de terminos independientes correspondientes a las cuatro hipótesis de cargas

243	-273.4	-60.8	0	0	0	0	0	0	-30.4	-60.8	10.1	0	0	0	0	0	0	0	0
-273.4	850.5	121.5	182.3	-243	-40.5	0	0	0	91.1	243	-40.5	0	0	0	0	0	0	0	0
-60.8	121.5	27	40.5	-40.5	-9	0	0	0	10.1	27	-4.5	0	0	0	0	0	0	0	0
0	182.3	40.5	243	-273.4	-60.8	0	0	0	0	0	0	-30.4	-60.8	10.1	0	0	0	0	0
0	-243	-40.5	-273.4	850.5	121.5	202.5	-243	-40.5	0	0	0	91.1	243	-40.5	0	0	0	0	0
0	-40.5	-9	-60.8	121.5	7	45	-40.5	-9	0	0	0	10.1	27	-4.5	0	0	0	0	0
0	0	0	0	202.5	45	308.3	-315	-70	0	0	0	0	0	0	0	0	0	0	0
0	0	0	0	-243	-40.5	-315	648	85.5	0	0	0	0	0	0	0	0	0	0	0
0	0	0	0	-40.5	-9	-70	85.5	19	0	0	0	0	0	0	0	0	0	0	0
-30.4	91.1	10.1	0	0	0	0	0	0	81	128.3	-27	0	0	0	0	0	0	0	0
-60.8	243	27	0	0	0	0	0	0	128.3	324	-67.5	-81	-72	18	0	0	0	0	0
10.1	-40.5	-4.5	0	0	0	0	0	0	-27	-67.5	18	27	18	-6	0	0	0	0	0
0	0	0	-30.4	91.1	10.1	0	0	0	-81	27	182.3	141.8	-47.3	-30.4	-60.8	10.1	0	0	0
0	0	0	-60.8	243	27	0	0	0	-72	18	141.8	306	-63	0	0	0	0	0	0
0	0	0	10.1	-40.5	-4.5	0	0	0	18	-6	-47.3	-63	21	10.1	27	-4.5	0	0	0
0	0	0	0	0	0	0	0	0	0	0	-30.4	0	10.1	81	128.3	-27	0	0	0
0	0	0	0	0	0	0	0	0	0	0	-60.8	0	27	128.3	324	-67.5	0	0	0
0	0	0	0	0	0	0	0	0	0	0	10.1	0	-4.5	-27	-67.5	18	0	0	0

Nota: En la tabla anterior de los coeficientes de las incógnitas se han aproximado las decimas de los números siguientes

-273.4 por -273.375    -60.8 por -60.75    -30.4 por -30.375    -60.8 por -60.75    10.1 por 10.125  
 182.3 por 182.25    91.1 por 91.125    308.3 por 308.333    128.3 por 128.25    141.8 por 141.75  
 -47.3 por -47.25

Los términos independientes son para las distintas hipótesis de cargas

H-I	H-II	H-III	H-IV
-2916000	-1385100	-3280500	-1749600
2916000	291600	4374000	1749600
324000	32400	486000	194400
-1385100	801900	-2843100	-656100
-3207600	-8456400	2624400	-2624400
-356400	-939600	291600	-291600
-1305000	2097000	-3105000	297000
-769500	-10829700	5710500	-4349700
36000	-1130400	756000	-410400
-30375	-686475	637875	-18225
5100300	3350700	4965300	3215700
-1265400	-973800	-1085400	-793800
-6050700	-7362900	-2648700	-3960900
-4104000	-7603200	1296000	-2203200
918000	1501200	-162000	421200
-759375	-759375	-455625	-455625
-623700	-623700	-218700	-218700
138600	138600	48600	48600

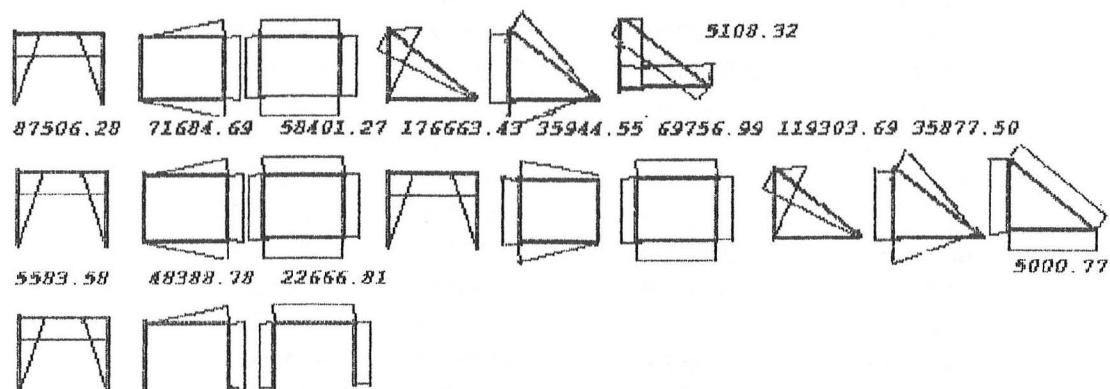
Sistemas que resueltos dan para las diferentes incógnitas los valores

X1	-25777.65	-29315.15	-17132.37	-20669.87
Y1	-2258.34	-9467.28	2877.54	-4331.40
M1	-51746.33	-58476.26	-34766.96	-41496.94
X2	-19445.84	-21549.17	-13204.34	-15307.65
Y2	-7964.97	-22476.27	3125.95	-11385.35
M2	-58401.27	-63897.64	-40189.60	-45685.95
X3	-1116.72	-2244.33	-205.95	-1333.56
Y3	-5376.53	-27002.22	9490.61	-12135.08
M3	-22666.81	-24430.61	-16050.97	-17814.73
X4	-54920.94	-56093.06	-40644.39	-41816.49
Y4	35119.11	35387.57	28843.60	29121.04
M4	5108.32	4335.67	7396.93	6624.26
X5	-39258.54	-39181.82	-28872.91	-28796.20
Y5	5990.76	6228.00	9764.04	10001.29
M5	-69756.99	-69726.58	-61394.96	-61364.57
X6	-26511.93	-26494.91	-19407.11	-19390.10
Y6	5979.58	5993.42	6369.03	6382.86
M6	-5000.77	-4958.93	-1634.54	-1592.70

Valores que llevados a sus diagramas y sumados con sus respectivos de las cargas dan para las distintas hipótesis

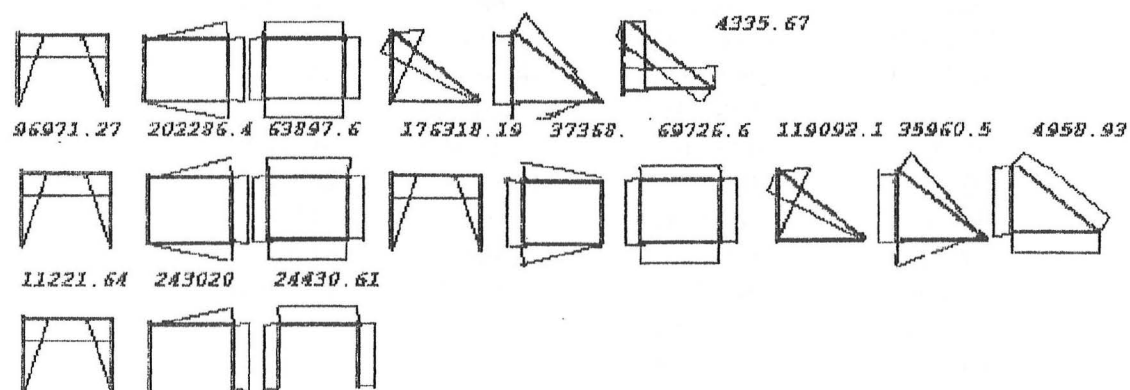
### Hipòtesis I

115999.43 29325.1 51746.33 247144.23 210660.66



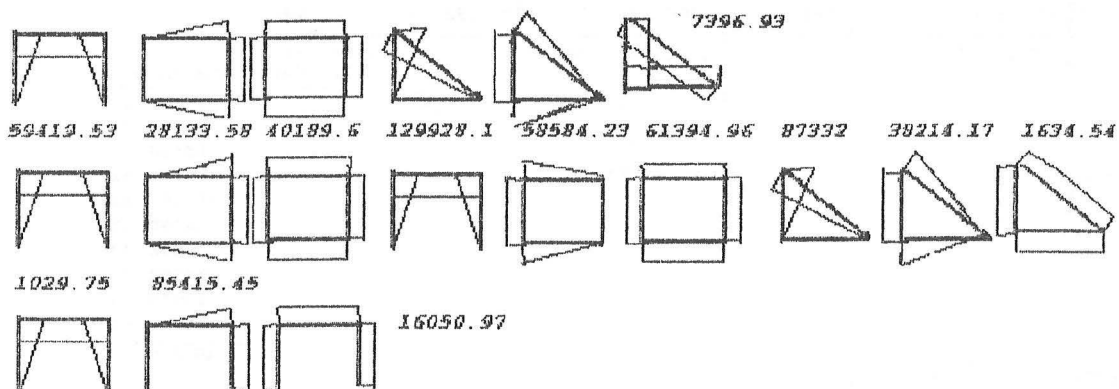
### Hipòtesis II

131918.2 85205.5 58476.3 252418.8 212325.42



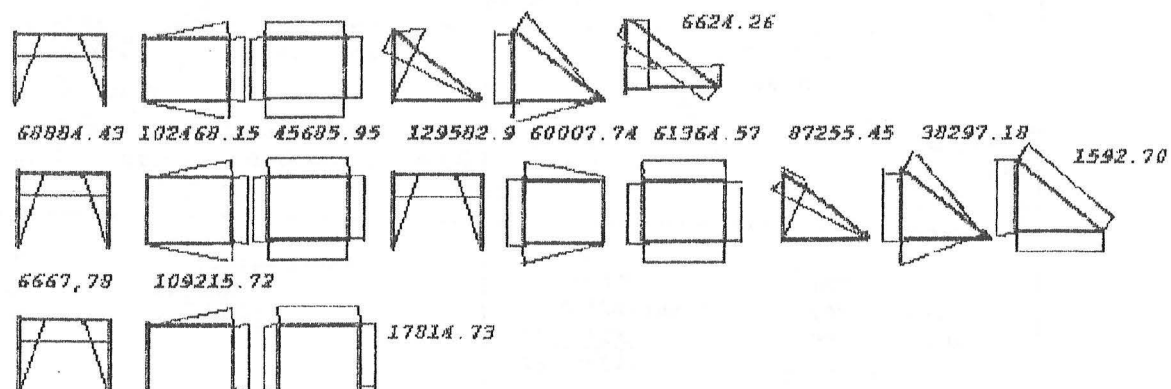
## Hipótesis III

77095.67 25897.83 94766.96 182899.76 173061.6



## Hipótesis IV

93014.42 38982.56 41496.94 188174.21 174726.24



Quedan los diagramas definitivos al añadirles sus correspondientes de las cargas

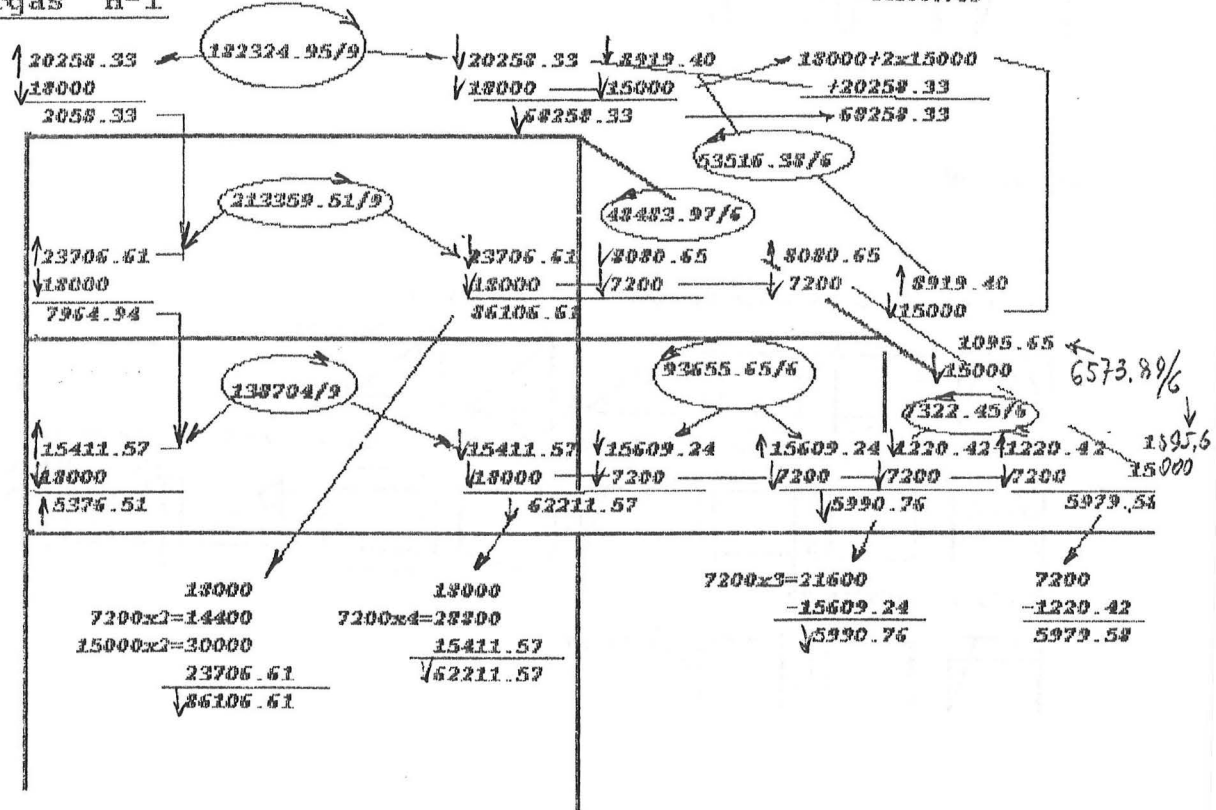
Hipotesis I

Pares de vuelo

$44400 \times 3 = 133200 \text{ mk.}$   
 $44400 \times 6 + 58300 \times 3 = 442800 \text{ mk.}$

64253.1		-48408.11		<u>Primer equilibrio</u>	
-64253.1	118072.0	-69663.89		-29105.01	
-51746.39	80851.94	-61480.91	-36635.77	-58401.27	
			-5108.32	-34341.57	
-29105.01	132508.25	-34341.57	-11798.12	-54815.59	
			-11574.58	28481.02	
-58401.27	41318.04	-54815.59	-67098.46	28878.72	
			28481.02	-11574.58	
			-2321.72	-2321.72	
			5000.77		
17083.23	97386.05	24528	-26557	-5000.77	<u>Segundo equilibrio</u>
				-64253.1	
-22666.81	-18944.41	50000		-51746.39	
				-69663.89	
				-61480.91	
				-48408.11	
				-5108.32	
				-36635.77	
				-11798.12	
				-67098.46	
				-26557.00	
				-442800.00	

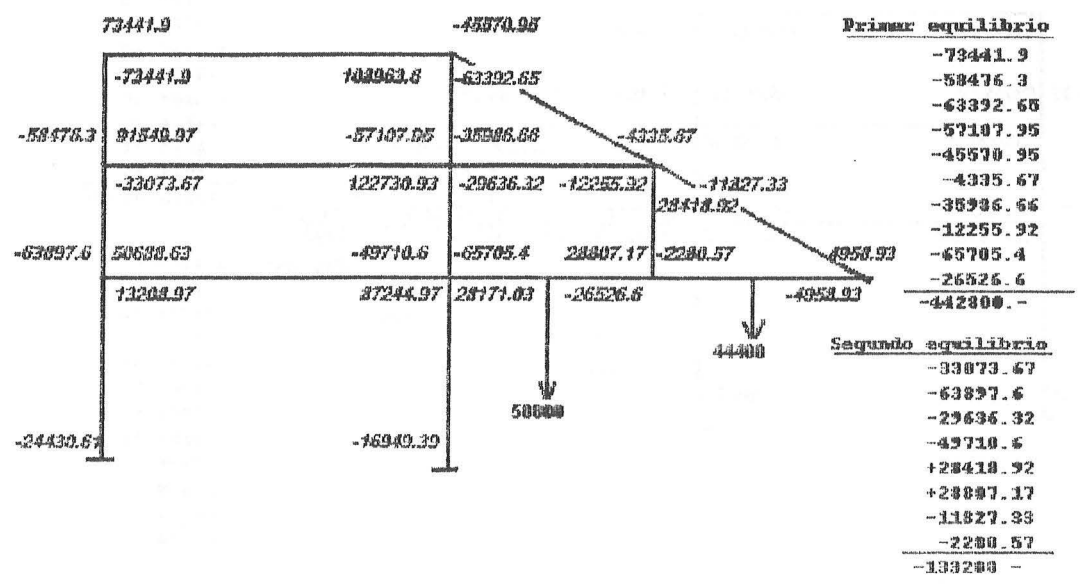
Cargas H-I



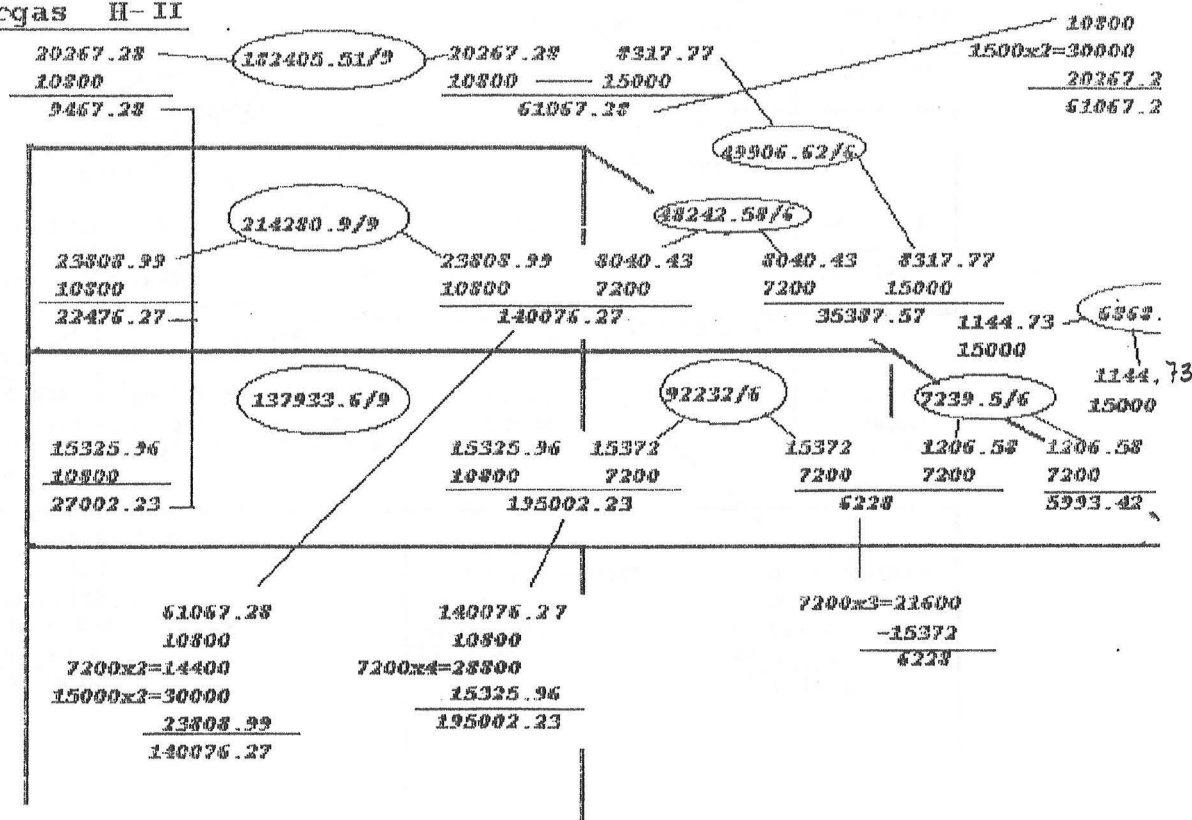
Hipotesis II

Paras de vuelo

44400 x 3 = 133200 mk.  
44400 x 6 + 58800 x 3 = 442800 mk.



Cargas H- II





Hipotesis III

Paras de vuelo

$$32400 \times 3 = 97200 \text{ mk.}$$

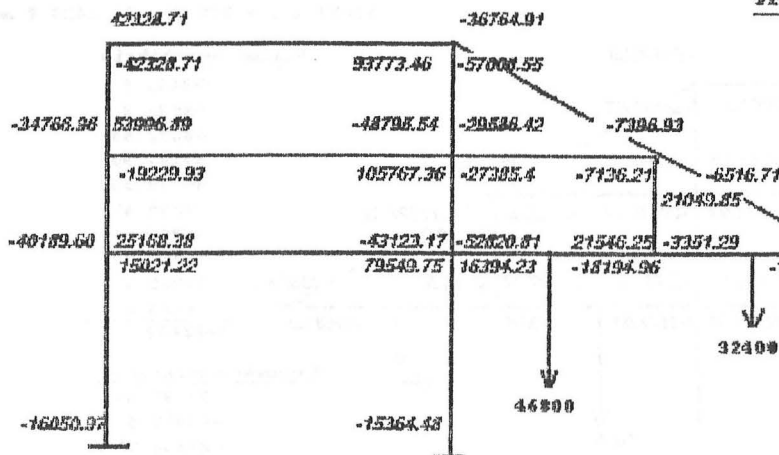
$$32400 \times 6 + 46800 \times 3 = 334800 \text{ mk.}$$

Primer equilibrio

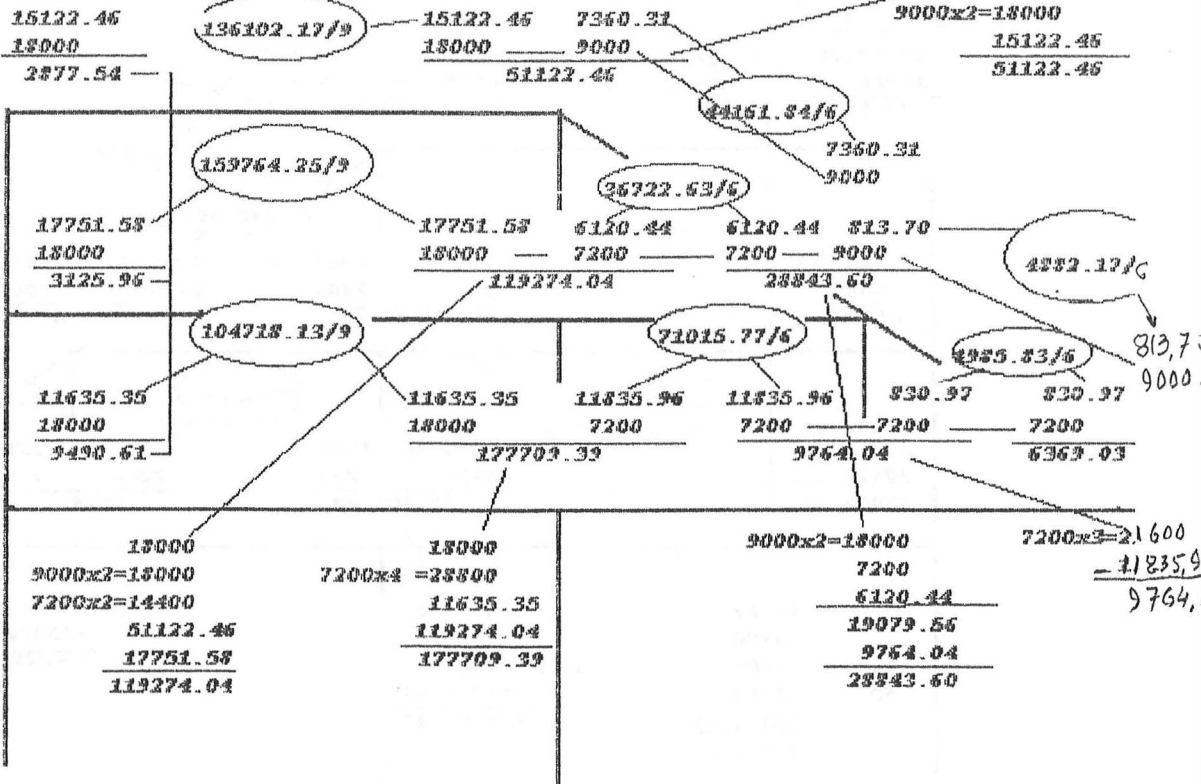
-19229.93  
-40189.60  
-27385.40  
-43123.17  
+21849.05  
+21546.25  
-6016.71  
-3351.29  
-97200.00 mk

Segundo equilibrio

-42328.71  
-94764.96  
-57008.55  
-48795.54  
-36764.91  
-7396.93  
-29586.42  
-7136.21  
-52329.81  
-18194.96  
-334800.00 mk



Cargas H- III



### Paras de vuelo

$$32400 \times 3 = 97200 \text{ mk.}$$

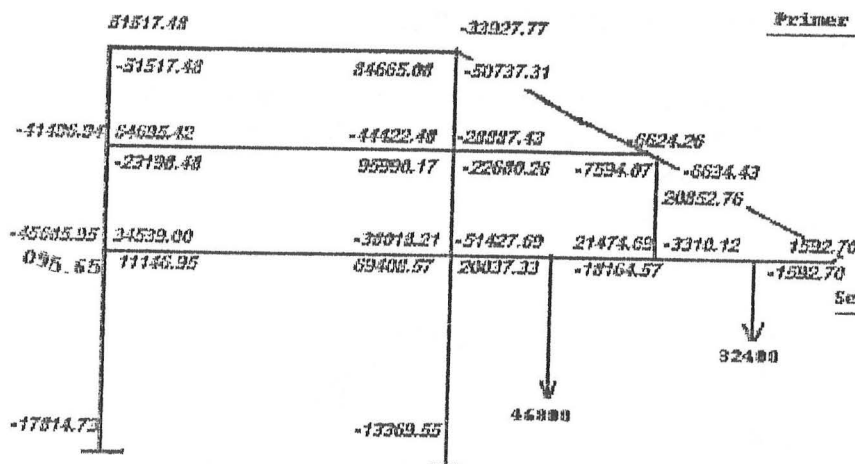
$$32400 \times 5 + 46800 \times 3 = 934800 \text{ mk.}$$

### Primer equilibrio

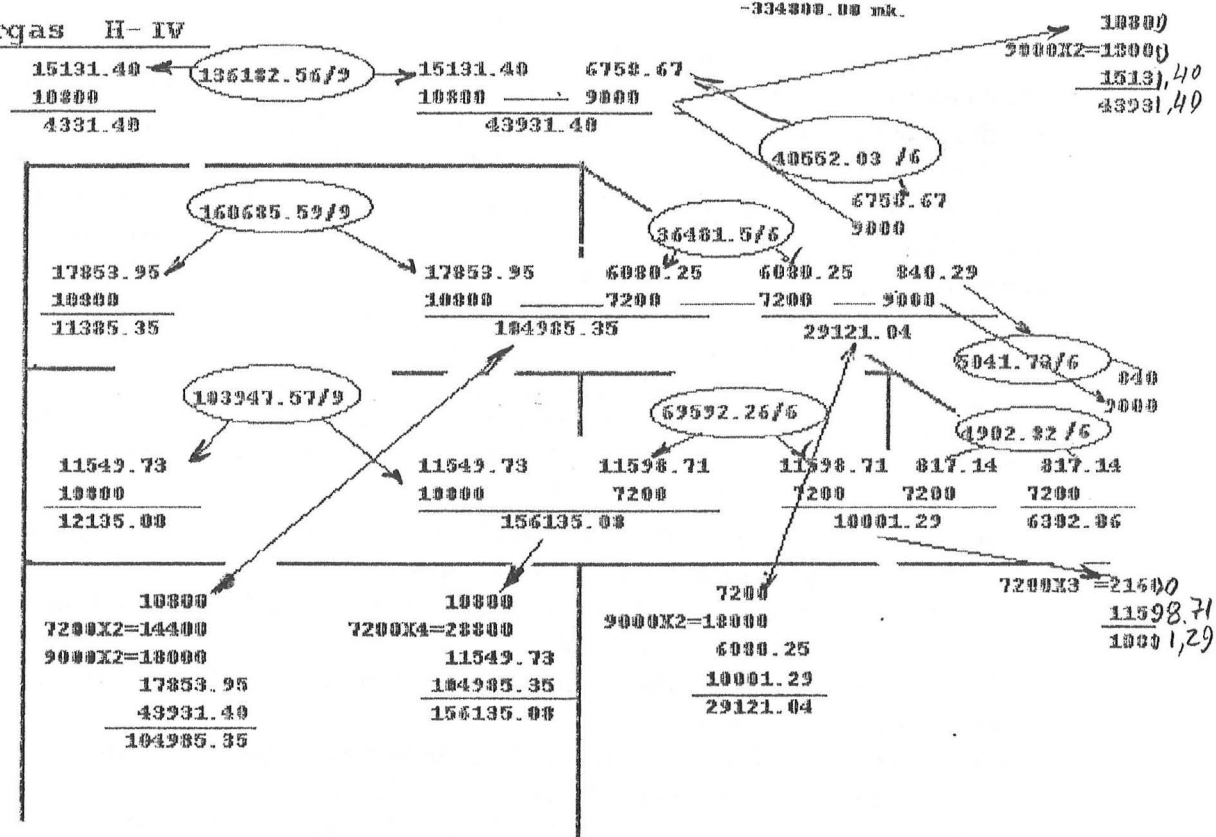
-28198.48  
 -45635.95  
 -22682.26  
 -33013.21  
 +20352.76  
 +21474.69  
 -6634.43  
 -3310.12  
 -97200.00

### Segundo equilibrio

-51517.43  
 -41426.94  
 -50737.31  
 -44422.43  
 -33927.77  
 -6624.26  
 -28087.43  
 -7594.07  
 -51427.69  
 -18164.57  
 -334800.00  $\times 10^6$

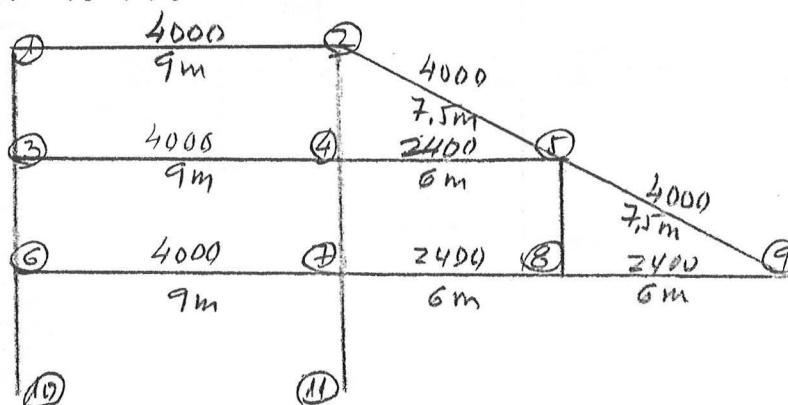


## Cargas H- IV



## ACLARACIONES Y CONSECUENCIAS DE LOS DIAGRAMAS DE MOMENTOS DE ESTA ESTRUCTURA

En las cuatro hipótesis de cargas se observan los mismos resultados, que para simplificar, nos referiremos a la primera, que tiene cargas de 4000 k/m. en los vanos 1-2, 2-5, 3-4, 5-9, y 6,7; y de 2400 k/m. en los restantes.



1º) El peso del triángulo 5-8-9 es de  $4000 \times 7,5 + 2400 \times 6 = 44400$  k. que da un momento de vuelco respecto al nudo 8 de  $44400 \times 3 = 133200$  mk. que lo equilibran la suma de los momentos de las barras 3-6, 4-7, 5-8, 5-9, y 8-9.

2º) El peso del trapecio 2-5-8-7 es de  $4000 \times 7,5 + 2 \times 6 \times 2400 = 58800$  k. y para el par de vuelco respecto al nudo 7, debe de tenerse en cuenta el peso del triángulo 5-8-9 aplicado en el nudo 8, o sea:  $58800 \times 3 + 44400 \times 6 = 442800$  mk. que queda también equilibrado con la suma de los momentos de las barras 1-3, 2-4, 2-5, 4-5 y 7-8.

3º) El empuje al nivel 6-7 producido por los pilares 6-10 y 7-11 queda equilibrado  $\approx (17083,23 - 22666,81 + 24528 - 18944,41) / 5 = 0$

4º) Respecto a los resultados de las cargas puede observarse lo siguiente:

En el nudo 2 = Cargas isostáticas 18000 k. del extremo derecho de la barra 1-2, 2\* 15000 k. de la barra 2-5 y 20258.33 k hiperestática de extremo derecho de 1-2, ya que las hiperestáticas de 2-5 se anulan.

En el nudo 4 = Cargas isostáticas 18000 k. del extr. der. 3-4, 7200 \* 2 de barra 4-5, 15000 \* 2 de carga en nudo 5 y 23706,61 k. hiperest. de 3-4.

En el nudo 7 = Cargas isostáticas 18000 k. del extr. der. 6-7, 7200 \* 4 de barras 7-8 y 8-9, y 15411.57 de hiperest. de 6-7.

Y en el nudo 8 = Cargas isost. 7200 k de extr.der. de 7-8, 7200 \* 2 de barra 8-9 y -15609,24 de hiperest. de 7-8.

Lógicamente en cada nudo las cargas de sus inmediatos superiores. Así

En nudo 1 =  $18000 - 20258,33 = -2258,33$  k.

En nudo 3 =  $-2258,33$  (de nudo 1) +  $18000 - 23706,61 = -7964,94$  k.

En nudo 6 = nudo 10 =  $-7964,94$  (de nudo 3) +  $18000 - 15411,57 = -5376,51$  k.

En nudo 11 =  $68258,33$  (nudo 2) +  $86106,61$  (nudo 4) +  $62211,57$  (nudo 7) =  $216576,51$  k.

Sumando las cargas de los nudo 10 y 11 dan =  $216576,51 - 5376,51 = 211200$  k.

y como el peso de la estructura es de  $4000 (3 \times 9 + 7,5 \times 2) + 2400 \times 3 \times 6 = 211200$  k. se de muestra la exactitud de los cálculos y resultados.

Teniendo en cuenta las cuatro hipótesis de cargas se han obtenido los momentos máximos en las Vigas (en m.k)

Viga	H-I	H-II	H-III	H-IV
1-2	<u>118072</u>	108963.6	93773.46	84665.08
3-4	<u>132508.25</u>	122730.9	105767.36	95990.17
6-7	<u>97386.05</u>	87244.97	79549.75	69408.57
2-5	<u>48408.11</u>	45570.95	36764.91	33927.77
4-5	<u>36685.77</u>	35986.66	29586.42	28887.43
5-9	11574.58	<u>11827.33</u>	6516.71	6634.43
7-8	<u>67098.46</u>	65705.40	52820.81	51427.69
8-9	2321.72	<u>4958.93</u>	3351.29	3310.12

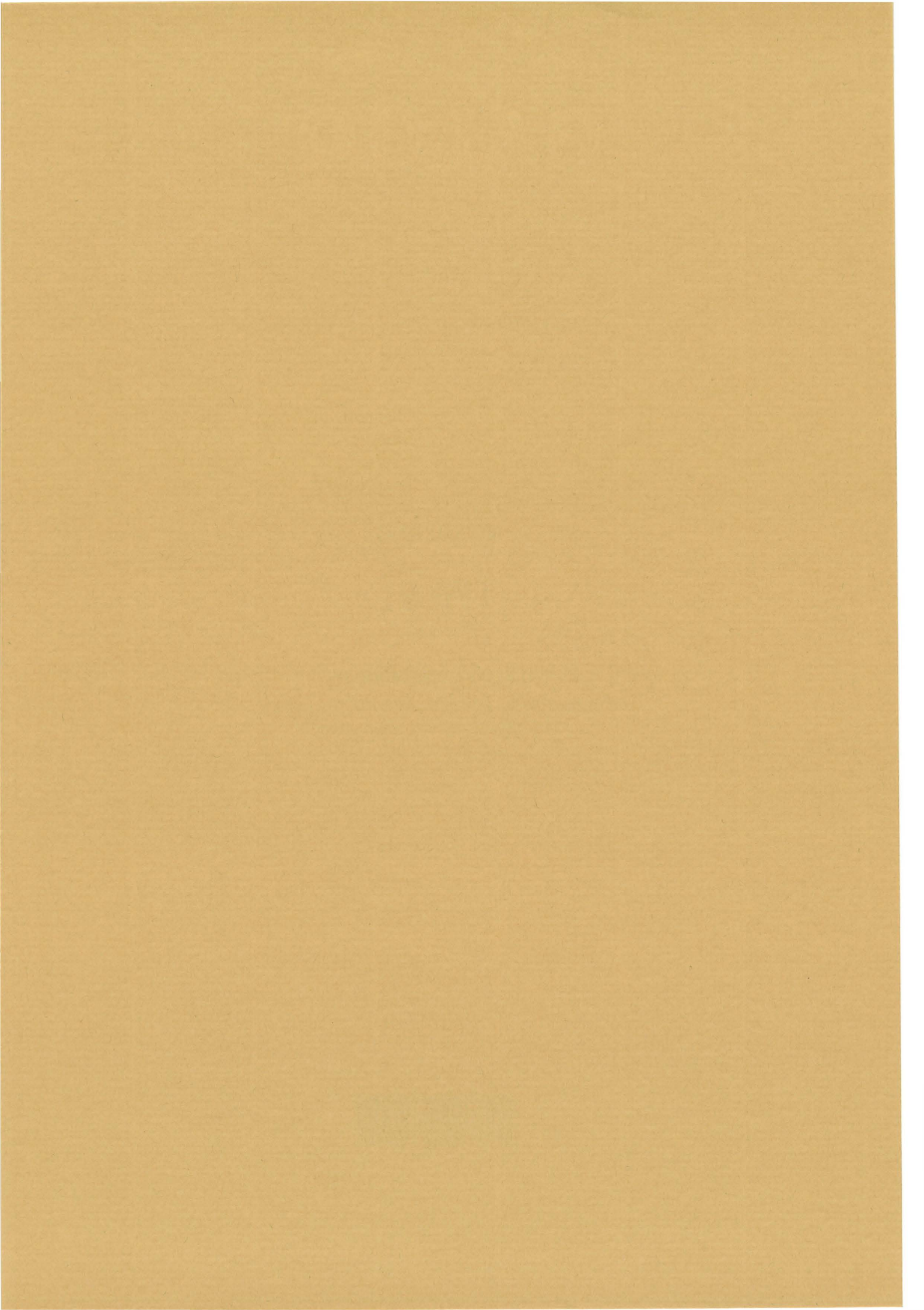
En Pilares momentos en mk. Y cargas en k..

Pilar		H-I.	H-II	H-III	H-IV
1-3	M =	64253.10	73441.9	42328.71	51517.48
	C =	-2258.33	-9467.28	2877.54	-4331.40
2-4	M =	69663.89	63392.65	57008.55	50737.31
	C =	68258.33	61067.28	51122.46	43931.40
3-6	M =	58401.27	63897.60	40189.60	45685.95
	C =	-7964.94	-22476.27	3125.96	-11386.35
4-7	M =	54815.59	49710.60	43123.17	38018.21
	C =	154364.94	79008.99	119274.04	104985.35
5-8	M =	28878.72	28807.17	21546.25	21474.69
	C =	5990.76	6228.00	9764.04	10001.29
6-10	M =	22666.81	24430.61	16050.97	17814.73
	C =	-5376.51	-27002.23	9490.61	-12135.08
7-11	M =	24528.00	28171.03	16394.23	20037.33
	C =	216576.51	195002.23	177709.39	156135.08

# NOTAS

Nome	Idade	Sexo	Profissão	Estado
João Silva	25	M	Engenheiro	SP
Maria Costa	30	F	Professora	RJ
Carlos Mendes	28	M	Médico	MG
Ana Paula	22	F	Arquiteta	PR
Roberto Lima	35	M	Advogado	RS
Luciana Alves	27	F	Psicóloga	SC
Diego Souza	20	M	Estudante	PA
Patricia Gomes	32	F	Contadora	GO
Felipe Pereira	24	M	Programador	DF
Isabella Rocha	29	F	Designer	MT

Nome	Idade	Sexo	Profissão	Estado
Adriano Neto	38	M	Empresário	SP
Clara Mendes	26	F	Enfermeira	RJ
Diego Costa	21	M	Artista	MG
Eduarda Lima	31	F	Engenheira	PR
Fabiano Alves	23	M	Desenvolvedor	RS
Gabriela Souza	28	F	Analista	SC
Henrique Pereira	33	M	Consultor	PA
Isabella Gomes	25	F	Tradutora	GO
João Roberto	36	M	Professor	DF
Letícia Rocha	24	F	Assistente	MT
Marcelo Silva	29	M	Gerente	SP
Natália Costa	27	F	Designer	RJ
Osvaldo Mendes	34	M	Engenheiro	MG
Priscila Lima	22	F	Estudante	PR
Renato Alves	37	M	Advogado	RS
Sarah Souza	26	F	Psicóloga	SC
Tiago Pereira	20	M	Programador	PA
Vanessa Gomes	30	F	Contadora	GO
Walter Rocha	25	M	Analista	DF
Xenia Silva	28	F	Arquiteta	MT
Ygor Costa	23	M	Estudante	SP
Zuleika Mendes	32	F	Professora	RJ





CUADERNO

170.01

CATÁLOGO Y PEDIDOS EN

<http://www.aq.upm.es/of/jherrera>  
[info@mairea-libros.com](mailto:info@mairea-libros.com)

